



Universidade Federal do Ceará
Centro de Tecnologia
Departamento de Engenharia de Teleinformática
Filtragem Adaptativa - TIP7188

Lista de Exercícios

Aluno: Lucas de Souza Abdalah (539567)

Professor: Charles Casimiro Cavalcante e Guilherme de Alencar Barreto

Data de Entrega: 20/07/2022

Fortaleza
2022

Sumário

1	Lista 1: Estatísticas de Segunda Ordem	2
1.1	Média e Autocorrelação	2
1.2	Processos Estacionários	2
1.3	Matriz de Autocorrelação	4
1.4	Matriz Definida Positiva	4
1.5	Covariância e correlação	5
1.6	Função de autocorrelação	5
1.7	Exercícios Propostos	7
2	Lista 2: Filtragem Linear Ótima	9
2.1	Filtragem Ótima	9
2.2	Erro Médio Quadrático Mínimo	10
2.3	Cancelamento de Ruído	10
2.4	Predição Ótima	11
2.5	Superfície de Erro	11
2.6	Exercícios Propostos	13
3	Implementações em MATLAB	15
3.1	Métodos	16
3.2	Função Main	52

1 Lista 1: Estatísticas de Segunda Ordem

1.1 Média e Autocorrelação

Para obter a média, basta a expressão de acordo com o operador esperança $\mathbb{E}\{\cdot\}$, dado que as variáveis aleatórias tem mesma média, resume-se a expressão:

$$\begin{aligned}\mathbb{E}\{x(n)\} &= \mathbb{E}\{v(n) + 3v(n-1)\} \\ &= \mu + 3\mu \\ &= 4\mu\end{aligned}$$

Já a variância, é obtida aplicando o mesmo operador, "abrindo" o termo ao quadrado, reorganizando em função do termo σ^2 e sabendo que $v(n)$ e $v(n-1)$ são descorrelacionadas:

$$\begin{aligned}\mathbb{E}\{[(x(n) - \mu_X)]^2\} &= \mathbb{E}\{[v(n) - 3v(n-1) - \mu_X]^2\} \\ &= \mathbb{E}\{[v(n) - 3v(n-1) - 4\mu]^2\} \\ &= \mathbb{E}\{[v(n) - \mu + 3v(n-1) - 3\mu]^2\} \\ &= \sigma^2 + 9\sigma^2 + \mathbb{E}\{6[v(n) - \mu][v(n-1) - \mu]\} \\ &= 10\sigma^2\end{aligned}$$

Para afirmar que o processo apresentado é estacionário em sentido amplo, abreviado em inglês para **WSS**, as estatísticas de primeira e de segunda ordem devem ser independentes ao deslocamento no tempo. Isto pode ser observado, assumindo novamente que $x(n)$ e $x(n+\tau)$, via função de correlação, dada por:

$$\begin{aligned}\mathbb{E}\{x(n)x(n+\tau)\} &= \mathbb{E}\{[v(n) + 3v(n-1)][v(n+\tau) + 3v(n-1+\tau)]\}, \\ &= \mathbb{E}\{v(n)v(n+\tau) + 3v(n)v(n-1+\tau) + 3v(n-1)v(n+\tau) + 9v(n-1)v(n-1+\tau)\} \\ &= \mathbb{E}\{\mu^2 + 3\mu^2 + 3\mu^2 + 9\mu^2\} \\ &= 16\mu^2\end{aligned}$$

Visto que os pré-requisitos são cumpridos, pode-se concluir que o processo é de fato WSS. Entretanto, para afirmar algo além disso é necessário conhecer os movimentos de ordem superior do caso estudado.

1.2 Processos Estacionários

Funções de autocorrelação de x e de y

Primeiramente, é conveniente definir o processo de ruído branco, visto que este possui propriedades bastante conveniente para a solução do problema. O processo desta natureza tem média nula e tem todas as suas amostras independentes entre si. Isto permite que seja obtida a média de novos processos resultantes da mistura linear desses ruídos.

Para $x(n)$, obtém-se a média dado:

$$\begin{aligned}\mathbb{E}\{x(n)\} &= \mathbb{E}\{v_1(n) + 3v_2(n-1)\} \\ &= \mu_1 + 3\mu_2 \\ &= 0\end{aligned}$$

Enquanto para a variância, tem-se que (semelhante ao exercício 1.1):

$$\begin{aligned}
\mathbb{E}\{[x(n) - \mu]^2\} &= \mathbb{E}\{[x(n) - 0]^2\} \\
&= \mathbb{E}\{[v_1(n) + 3v_2(n-1)]^2\} \\
&= \mathbb{E}\{[v_1^2(n)] + 6[v_1(n)v_2(n-1)] + 9[v_2^2(n-1)]\} \\
&= 1\sigma_1^2 + 9\sigma_2^2 \\
&= 5
\end{aligned}$$

O mesmo procedimento é aplicado para $y(n)$:

$$\begin{aligned}
\mathbb{E}\{y(n)\} &= \mathbb{E}\{v_2(n+1) + 3v_1(n-1)\} \\
&= \mu_2 + 3\mu_1 \\
&= 0
\end{aligned}$$

$$\begin{aligned}
\mathbb{E}\{[y(n) - \mu]^2\} &= \mathbb{E}\{[y(n) - 0]^2\} \\
&= \mathbb{E}\{[v_2(n+1) + 3v_1(n-1)]^2\} \\
&= \mathbb{E}\{[v_2^2(n)] + 6[v_2(n+1)v_1(n-1)] + 9[v_1^2(n-1)]\} \\
&= 9\sigma_1^2 + 1\sigma_2^2 \\
&= 5
\end{aligned}$$

Para função de autocorrelação de $x(n)$, sabe-se que as amostras são descorrelacionadas e o processo é de média nula, então o produto de diversos termos igual a zero também é zero. Temos que:

$$\begin{aligned}
r_x(\tau) &= \mathbb{E}\{x(n)x(n+\tau)\} = \mathbb{E}\{[v_1(n) + 3v_2(n-1)][v_1(n+\tau) + 3v_2(n-1+\tau)]\}, \\
&= \mathbb{E}\{v_1(n)v_1(n+\tau) + 3v_1(n)v_2(n-1+\tau) + 3v_2(n-1)v_1(n+\tau) + 9v_2(n-1)v_2(n-1+\tau)\} \\
&= \vdots \quad (\text{Mesmo passo a passo do problema 1.1}) \\
&= 0
\end{aligned}$$

Para $y(n)$, o processo é o mesmo, consequentemente $r_y(\tau) = 0$.

Finalmente, observa-se que estatísticas de primeira e de segunda ordem são independentes do tempo para ambos, i.e, os dois processos são **WSS**.

Função de correlação cruzada

Para obter a função de correlação cruzada, basta aplicar as premissas utilizadas anteriormente: I) Processo de ruído branco é descorrelacionado; II) Média nula.

$$\begin{aligned}
r_{x,y}(n_1, n_0) &= \mathbb{E}\{[x(n_1)y^*(n_0)]\} \\
&= \mathbb{E}\{[v_1(n_1) + 3v_2(n_1-1)][v_2(n_0+1) + 3v_1(n_0-1)]^*\}, \\
&= \mathbb{E}\{v_1(n_1)v_2^*(n_0+1) + 3v_1(n_1)v_1^*(n_0-1) + 3v_2(n_1-1)v_2^*(n_0+1) + 9v_2(n_1-1)v_1^*(n_0-1)\} \\
&= 0
\end{aligned}$$

Esta função também é igual a zero, $r_{x,y}(n_1, n_0) = 0$. Isto implica que os processos são conjuntamente estacionários, pois há independência do tempo da função, e por partir de processos de ruído branco, processos WSS individualmente, isto sustenta os desenvolvimento acima.

1.3 Matriz de Autocorrelação

Um vetor aleatório bidimensional

Para garantir a existência da matriz de correlação, deve-se corresponder as seguintes premissas: I) $\mathbf{R}_x = \mathbf{R}_x^H$; II) $\mathbf{a}^H \mathbf{R}_x \mathbf{a} \geq 0$; III) $\mathbf{A} \mathbf{x} = \lambda \mathbf{x}, \forall \lambda \geq 0 | \mathbf{x} \in \mathbb{R}$.

Assumindo um vetor aleatório bidimensional: $\mathbf{X} = (x_1, x_2)$, a existência de \mathbf{R} e sua hermitiana, \mathbf{R}^H .

Os elementos da contra-diagonal da matriz hermitiana deve obdece para são equivalência simétrica: I) $\mathbb{E}\{[x_1 x_2^*]\} = \mathbb{E}\{[x_2 x_1^*]\}$ e II) $\mathbb{E}\{[x_2 x_1^*]\} = \mathbb{E}\{[x_1 x_2^*]\}$

Além disso, a vantagem de $\mathbb{E}\{\cdot\}$ ser um operador linear, garante que os resultados são de fato iguais, independente da ordem dos vetores.

Já a limitação dos autovalores está diretamente ao determinante da matriz, sendo esse maior que zero, o critério imposto é atingido, i.e, para o caso 2×2 , o produto dos elementos da diagonal principal é maior que o produto dos elementos da contra-diagonal.

Processo estocástico estacionário escalar

Em processo semelhante ao exemplo anterior, assume-se um processo estocástico estacionário escalar do tipo $\mathbf{X}_{(t)} = x(t)$ e sua versão atrasada $\mathbf{X}_{(t+\tau)} = x(t + \tau)$. Dado a matriz \mathbf{R} e sua hermitiana, \mathbf{R}^H .

Os elementos da contra-diagonal da matriz hermitiana deve obdece para são equivalência simétrica: I) $\mathbb{E}\{[x(t)x^*(t+\tau)]\} = \mathbb{E}\{[x(t+\tau)x^*(t)]\}$ e II) $\mathbb{E}\{[x(t+\tau)x^*(t)]\} = \mathbb{E}\{[x(t)x^*(t+\tau)]\}$.

Novamente, a vantagem do operador linear é conveniente para que independente da ordem, e igualdade na contra-diagonal, i.e, simetria.

Para os autovalores, o produto dos elementos da diagonal principal é maior que o produto dos elementos da contra-diagonal, i.e:

$$\mathbb{E}\{[x^2(t)]\}\mathbb{E}\{[x^2(t+\tau)]\} > \mathbb{E}\{[x(t)x^*(t+\tau)]\}\mathbb{E}\{[x(t+\tau)x^*(t)]\}$$

1.4 Matriz Definida Positiva

Assumindo a expressão que define matriz de autocorrelação e que existe sua inversa bem,

$$\begin{aligned}\mathbb{E}\{\mathbf{x}\mathbf{x}^H\} &= \mathbf{R}_x \\ \mathbb{E}\{\mathbf{x}\mathbf{x}^H\}\mathbf{R}_x^{-1} &= \mathbf{R}_x\mathbf{R}_x^{-1}\end{aligned}$$

A inversa pode adentrar o operador, enquanto do lado direito obtém-se uma matrix identidade

$$\mathbb{E}\{\mathbf{x}\mathbf{x}^H\mathbf{R}_x^{-1}\} = \mathbf{I}_{N \times N}$$

Isto permite aplicar o traço da matriz e por meio da propriedade de permutação cíclica do operador, tem-se que:

$$\text{Trace}\{\mathbb{E}\{\mathbf{x}\mathbf{x}^H\mathbf{R}_x^{-1}\}\} = \text{Tr}\{\mathbf{I}_{N \times N}\}$$

Observa-se que o traço da matriz identidade $\mathbf{I}_{N \times N}$ é justamente a soma dos elementos da diagonal, N .

$$\begin{aligned}\text{Trace}\{\mathbb{E}\{\mathbf{x}^H\mathbf{R}_x^{-1}\mathbf{x}\}\} &= \sum_{i=1}^N 1 \\ &= N\end{aligned}$$

1.5 Covariância e correlação

Expressão 1 Dado que a matriz de Covariância pode ser obtida por:

$$\begin{aligned} C_X &= \mathbb{E}\{(x - \mu)(x - \mu)^H\} \\ &= \mathbb{E}\{xx^H\} - \mathbb{E}\{x\mu^H\} - \mathbb{E}\{\mu x^H\} + \mathbb{E}\{\mu\mu^H\} \end{aligned}$$

Considerando que a matriz de correlação pode ser escrita como demonstrado no exercício 1.4:

$$\begin{aligned} C_X &= R_X - \mu^H \mathbb{E}\{[x]\} - \mu \mathbb{E}\{[x^H]\} + \mu\mu^H, \\ &= R_X - \mu\mu^H - \mu\mu^H + \mu\mu^H, \\ &= R_X - \mu\mu^H, \end{aligned}$$

Por fim, obtém-se que:

$$R_X = C_X + \mu\mu^H.$$

Expressão 2 As expressões de correlação cruzada são obtidos de forma análoga, tal que:

$$\mathbf{C}_{\mathbf{xy}} = \mathbb{E}\{[x - \mu_x][y - \mu_y]\}, \quad (1.1)$$

$$= \mathbb{E}\{[xy]\} - \mathbb{E}\{[x\mu_y]\} - \mathbb{E}\{[\mu_x y]\} + \mathbb{E}\{[\mu_x \mu_y]\} \quad (1.2)$$

$$= \mathbb{E}\{[xy]\} - \mu_y \mu_x - \mu_x \mu_y + \mu_x \mu_y \quad (1.3)$$

$$= \mathbb{E}\{[xy]\} + \mu_x \mu_y, \quad (1.4)$$

$$= \mu_x \mu_y \quad (1.5)$$

$$(1.6)$$

De forma análoga, obtém que $\mathbf{C}_{\mathbf{yx}} = -\mu_x \mu_y$, consequentemente

$$\begin{aligned} \mathbf{C}_{\mathbf{xy}} + \mathbf{C}_{\mathbf{yx}} &= \mu_x \mu_y - \mu_x \mu_y \\ &= 0 \end{aligned}$$

1.6 Função de autocorrelação

Função do Processo Como nos problemas anteriores, utiliza-se como premissa que os processos são descorrelacionados e tem média nula. A função é dada por $r_x = \mathbb{E}\{x(n)x^*(n)\}$, tal que

$$\begin{aligned} r_x &= \mathbb{E}\{[v_1(n) + 2v_1(n+1) + 3v_2(n-1)][v_1(n) + 2v_1(n+1) + 3v_2(n-1)]^*(n)\} \\ &= r_v(n, n) + 2r_v(n, n+1) + 2r_v(n+1, n) + 4r_v(n+1, n+1) + 9r_v(n-1, n-1) \end{aligned}$$

Observa-se que apenas termos onde a função degrau está presente permanecem, enquanto o restantes podem ser cancelados, de modo que:

$$\begin{aligned} r_x &= 2r_v(n, n+1) + 2r_v(n+1, n) \\ &= \delta(n - n - 1) + \delta(n + 1 - n) \end{aligned}$$

Isto pode ser reorganizado, sendo $\tau = n_1 - n_2$, de modo que:

$$r_x(n_1, n_2) = \delta(\tau) + \delta(-\tau)$$

Há apenas um deslocamento temporal (τ) atrelado à correlação, logo o processo é WSS.

Matriz de Correlação

Utilizando as relações obtidas anteriormente, é possível observar que os únicos elementos não nulos pertencem à diagonal, onde $n_1 = n_2$, acarretando $\delta(0) + \delta(0) = 2$.

Considerando 8 amostras consecutivas, a matriz de correlação é dada por:

$$\mathbf{R}_{\mathbf{x}} = 2 \times I_{8 \times 8}$$

Isto é, uma matriz 8×8 , onde apenas a diagonal é não nula, preenchida por 2.



Filtragem Adaptativa - TIP 7188

Prof. Dr. Charles Casimiro Cavalcante
Prof. Dr. Guilherme de Alencar Barreto

Período: 2022.2

Lista de Exercícios No. 1: Estatísticas de Segunda Ordem

- 1. (Média e autocorrelação)** Determine a média e a função de autocorrelação para o processo aleatório

$$x(n) = v(n) + 3v(n-1)$$

em que $v(n)$ é uma sequência de variáveis aleatórias independentes com média μ e variância σ^2 . $x(n)$ é estacionário? Justifique.

- 2. (Processos estacionários)** Sejam os processos aleatórios $x(n)$ e $y(n)$ definidos por

$$x(n) = v_1(n) + 3v_2(n-1)$$

e

$$y(n) = v_2(n+1) + 3v_1(n-1)$$

em que $v_1(n)$ e $v_2(n)$ são processos de ruído branco independentes cada um com variância igual a 0,5.

- (a) Quais são as funções de autocorrelação de x e de y ? Os processos são WSS?
- (b) Qual é a função de correlação cruzada $r_{xy}(n_1, n_0)$? Estes processos são conjuntamente estacionários (no sentido amplo)? Justifique.

- 3. (Matriz de autocorrelação)** Quais as condições que os elementos de uma matriz

$$\mathbf{R} = \begin{bmatrix} a & b \\ c & d \end{bmatrix}$$

devem satisfazer tal que \mathbf{R} seja uma matriz de autocorrelação válida de

- (a) Um vetor aleatório bidimensional?
- (b) Um processo estocástico estacionário escalar?

- 4. (Matriz definida positiva)** Assuma que a inversa \mathbf{R}_x^{-1} da matriz de autocorrelação de um vetor coluna N -dimensional exista. Mostre que

$$E \{ \mathbf{x}^H \mathbf{R}_x^{-1} \mathbf{x} \} = N$$

- 5. (Covariância e correlação)** Mostre que as matrizes de correlação e covariância satisfazem as relações abaixo:

- $\mathbf{R}_x = \mathbf{C}_x + \boldsymbol{\mu}_x \boldsymbol{\mu}_x^H$
- $\mathbf{C}_{x+y} = \mathbf{C}_x + \mathbf{C}_{xy} + \mathbf{C}_{yx} + \mathbf{C}_y$, para \mathbf{x} e \mathbf{y} descorrelacionados



- 6. (Função de autocorrelação)** Processos aleatórios $v_1(n)$ e $v_2(n)$ são independentes e têm a mesma função de correlação

$$r_v(n_1, n_0) = 0.5\delta(n_1 - n_0)$$

- (a) Qual é a função de correlação do processo aleatório

$$x(n) = v_1(n) + 2v_1(n + 1) + 3v_2(n - 1)?$$

Este é um processo WSS? Justifique.

- (b) Encontre a a matrix de correlação de um vetor aleatório consistindo de oito amostras consecutivas de $x(n)$.

2 Lista 2: Filtragem Linear Ótima

2.1 Filtragem Ótima

Coeficientes de Wiener

Considerando o problema de filtragem de Wiener, e assumindo conhecimento da matriz de correlação \mathbf{R}_X e do vetor de correlação cruzada \mathbf{p}_{Xd} , pode-se obter os coeficientes de \mathbf{w} .

$$\mathbf{w} = \mathbf{R}_X^{-1} \mathbf{p}_{Xd} \quad (2.1)$$

Aplicando a equação 2.1, obtém-se o vetor de pesos do filtro.

$$\mathbf{R}_X^{-1} = \begin{bmatrix} 1.3333 & -0.6667 \\ -0.6667 & 1.3333 \end{bmatrix}$$

$$\begin{aligned} \mathbf{w} &= \begin{bmatrix} 1.3333 & -0.6667 \\ -0.6667 & 1.3333 \end{bmatrix} \begin{bmatrix} 0.5 \\ 0.25 \end{bmatrix} \\ &= \begin{bmatrix} 0.5 \\ 0 \end{bmatrix}. \end{aligned}$$

Erro Médio Quadrático

A partir do vetor de pesos, resultado de 2.1, basta aplicá-lo na equação do erro mínimo.

$$\mathbb{E}\{e^2(n)\} = \sigma_d^2 - 2\mathbf{w}^\top \mathbf{p}_{Xd} + \mathbf{w}^\top \mathbf{R}_X \mathbf{w} \quad (2.2)$$

$$\begin{aligned} e &= \sigma_d^2 - 2 \begin{bmatrix} 0.5 & 0.0 \end{bmatrix} \begin{bmatrix} 0.5 \\ 0.25 \end{bmatrix} + \begin{bmatrix} 0.5 & 0.0 \end{bmatrix} \begin{bmatrix} 1 & -0.5 \\ -0.5 & 1 \end{bmatrix} \begin{bmatrix} 0.5 \\ 0.0 \end{bmatrix} \\ &= \sigma_d^2 - 2 \times 0.25 + 0.25 \\ &= \sigma_d^2 - 0.25 \end{aligned}$$

Representação em Autovalores

A decomposição em valores singulares (EVD) pode ser aplicada na matriz de correlação

$$\mathbf{R}_X = \mathbf{Q} \mathbf{\Lambda} \mathbf{Q}^{-1} \quad (2.3)$$

Aplicando diretamente o resultado da EVD 2.3 na equação do filtro ótimo 2.1, obtém-se:

$$\mathbf{w} = (\mathbf{Q} \mathbf{\Lambda} \mathbf{Q}^{-1})^{-1} \mathbf{p}_{Xd} \quad (2.4)$$

Finalmente, o resultado é uma expressão que compreende a inversão de matrizes menos custosas computacionalmente. Isto se dá principalmente por $\mathbf{\Lambda}$ ser uma matriz diagonal contendo os autovalores da matriz de autocorrelação, bastando calcular $1/\lambda_i$ para obter a sua inversa.

$$\mathbf{w} = \mathbf{Q}^{-1} \mathbf{\Lambda}^{-1} \mathbf{Q} \mathbf{p}_{Xd}. \quad (2.5)$$

2.2 Erro Médio Quadrático Mínimo

Para verificar a expressão proposta, é necessário obter a matriz de correlação do vetor aumentado.

$$\begin{aligned}\mathbf{A} &= \mathbb{E} \left\{ \begin{bmatrix} d(n) \\ x(n) \end{bmatrix} \begin{bmatrix} d(n)^\top & x(n)^\top \end{bmatrix} \right\} \\ &= \begin{bmatrix} \mathbb{E}\{d(n)d(n)^\top\} & \mathbb{E}\{d(n)x(n)^\top\} \\ \mathbb{E}\{x(n)d(n)^\top\} & \mathbb{E}\{x(n)x(n)^\top\} \end{bmatrix} \\ &= \begin{bmatrix} \sigma_d^2 & \mathbf{p}_{\mathbf{x}d}^\top \\ \mathbf{p}_{\mathbf{x}d} & \mathbf{R}_X \end{bmatrix}\end{aligned}$$

É conveniente observar que ao desenvolver a equação, os elementos resultantes da expressão são todos conhecidos. Multiplicando o resultado obtido pelo vetor $\begin{bmatrix} 1 \\ -\mathbf{w} \end{bmatrix}$ à direita e assumindo o modelo nas condições de filtragem ótima, dado filtro de Wiener, onde, $\mathbf{w}_{\text{opt}} = \mathbf{R}_X^{-1} \mathbf{p}_{\mathbf{x}d}$, temos que:

$$\begin{aligned}\mathbf{A} \begin{bmatrix} 1 \\ -\mathbf{w} \end{bmatrix} &= \begin{bmatrix} \sigma_d^2 & \mathbf{p}_{\mathbf{x}d}^\top \\ \mathbf{p}_{\mathbf{x}d} & \mathbf{R}_X \end{bmatrix} \begin{bmatrix} 1 \\ -\mathbf{w} \end{bmatrix} \\ &= \begin{bmatrix} \sigma_d^2 - \mathbf{p}_{\mathbf{x}d}^\top \mathbf{w} \\ \mathbf{p}_{\mathbf{x}d} - \mathbf{R}_X \mathbf{w} \end{bmatrix} \\ &= \begin{bmatrix} \sigma_d^2 - \mathbf{p}_{\mathbf{x}d}^\top \mathbf{R}_X^{-1} \mathbf{p}_{\mathbf{x}d} \\ \mathbf{p}_{\mathbf{x}d} - \mathbf{R}_X \mathbf{R}_X^{-1} \mathbf{p}_{\mathbf{x}d} \end{bmatrix} \\ &= \begin{bmatrix} \sigma_d^2 - \mathbf{p}_{\mathbf{x}d}^\top \mathbf{R}_X^{-1} \mathbf{p}_{\mathbf{x}d} \\ \mathbf{p}_{\mathbf{x}d} - \mathbf{I}_X \mathbf{p}_{\mathbf{x}d} \end{bmatrix} \\ &= \begin{bmatrix} \sigma_d^2 - \mathbf{p}_{\mathbf{x}d}^\top \mathbf{R}_X^{-1} \mathbf{p}_{\mathbf{x}d} \\ 0 \end{bmatrix}\end{aligned}$$

Finalmente, dado a equação obtida, com expressão equivalente à J_{\min} , pode-se escrever a relação proposta.

$$\mathbf{A} \begin{bmatrix} 1 \\ -\mathbf{w} \end{bmatrix} = \begin{bmatrix} J_{\min} \\ 0 \end{bmatrix}$$

2.3 Cancelamento de Ruído

Formulando a expressão do erro a partir do sistema sugerido:

$$\begin{aligned}e(n) &= x(n) - \hat{v}_1 \\ &= x(n) - \mathbf{w}^T v_2(n)\end{aligned}$$

Dado a equação obtida acima, deve-se aplicar: I) função erro quadrático médio (MSE), II) o operador valor esperado, com o filtro apresentando coeficientes constantes.

$$\begin{aligned}\mathbb{E}\{e^2(n)\} &= \mathbb{E}\{x^2(n)\} - 2\mathbf{w}^T \mathbb{E}\{x(n)v_2(n)\} + \mathbf{w}^T \mathbb{E}\{v_2(n)v_2(n)^T\} \mathbf{w}, \\ &= \sigma_x^2 - 2\mathbf{w}^T \mathbf{p}_{xv_2} + \mathbf{w}^T \mathbf{R}_{v_2} \mathbf{w}.\end{aligned}$$

Isto permite encontrar a equação para calcular o \mathbf{w} que minimiza o MSE via gradiente.

$$\begin{aligned}
\nabla_{\mathbf{w}} \mathbb{E}\{e^2(n)\} &= 0 \\
-2\mathbf{p}_{xv_2} + 2\mathbf{R}_{v_2} \mathbf{w} &= 0 \\
-\mathbf{p}_{xv_2} + \mathbf{R}_{v_2} \mathbf{w} &= 0
\end{aligned}$$

Por fim, temos que $\mathbf{w} = \mathbf{R}_{v_2}^{-1} \mathbf{p}_{xv_2}$ é o vetor de pesos do filtro.

2.4 Predição Ótima

O primeiro passo é definir a matriz de autocorrelação para $x(n)$. Visando a simplicidade, mas sem perda de generalidade, pode-se considerar que o processo S é WSS e tem variância σ_s^2 :

$$\mathbf{R}_x = \begin{bmatrix} \mathbb{E}\{x(n)x^*(n)\} & \mathbb{E}\{x(n-1)x^*(n)\} \\ \mathbb{E}\{x(n)x^*(n-1)\} & \mathbb{E}\{x(n-1)x^*(n-1)\} \end{bmatrix}$$

Dado as premissas assumidas, a matriz pode ser simplificada para uma matriz diagonal preenchido por $2\sigma_s^2$.

Finalmente, considerando média nula para o processo D , a consequencia é que o vetor de correlação cruzada também é nulo.

$$\begin{aligned}
\mathbf{w}_{\text{opt}} &= \mathbf{R}_x^{-1} \mathbf{p}_{xd} \\
&= \begin{bmatrix} 2\sigma_s^2 & 0 \\ 0 & 2\sigma_s^2 \end{bmatrix} \begin{bmatrix} 0 \\ 0 \end{bmatrix} \\
&= \begin{bmatrix} 0 \\ 0 \end{bmatrix}
\end{aligned}$$

Isto implica que o filtro linear ótimo para esse processo seria o próprio vetor nulo.

2.5 Superfície de Erro

Dado os coeficientes, temos que a matriz de correlação \mathbf{R}_x do filtro ótimo é uma matriz identidade de ordem 2×2 .

Aplicando a solução do filtro ótimo de Wiener, obtém-se finalmente o vetor de pesos:

$$\begin{aligned}
\mathbf{w}_{\text{opt}} &= \mathbf{R}_x^{-1} \mathbf{p}_{xd} \\
&= \begin{bmatrix} 1 & 0 \\ 0 & 1 \end{bmatrix} \begin{bmatrix} 2 \\ 4.5 \end{bmatrix} \\
&= \begin{bmatrix} 2 \\ 4.5 \end{bmatrix}
\end{aligned}$$

A superfície definida por $J(\mathbf{w})$

Abrindo a equação do erro médio, para obter a expressão que define a superfície.

$$\mathbf{J}(w) = \mathbb{E}\{e^2(n)\} \tag{2.6}$$

$$= \sigma_d^2 - 2\mathbf{w}^T \mathbf{p}_{xd} + w^T \mathbf{R}_x \mathbf{w}. \tag{2.7}$$

Aplicando os valores obtidos na expressão da superfície:

$$\begin{aligned} \mathbf{J}(w_0, w_1) &= 24.40 - 2 [w_0 w_1] \begin{bmatrix} 2 \\ 4.5 \end{bmatrix} + [w_0 w_1] \begin{bmatrix} 1 & 0 \\ 0 & 1 \end{bmatrix} \begin{bmatrix} w_0 \\ w_1 \end{bmatrix} \\ &= 24.40 - 4w_0 - 9w_1 + w_0^2 + w_1^2 \end{aligned}$$

Utilizando um MATLAB é possível obter a Figura 2.1 onde é traçada a superfície de erro MSE expressada na Equação (2.7).

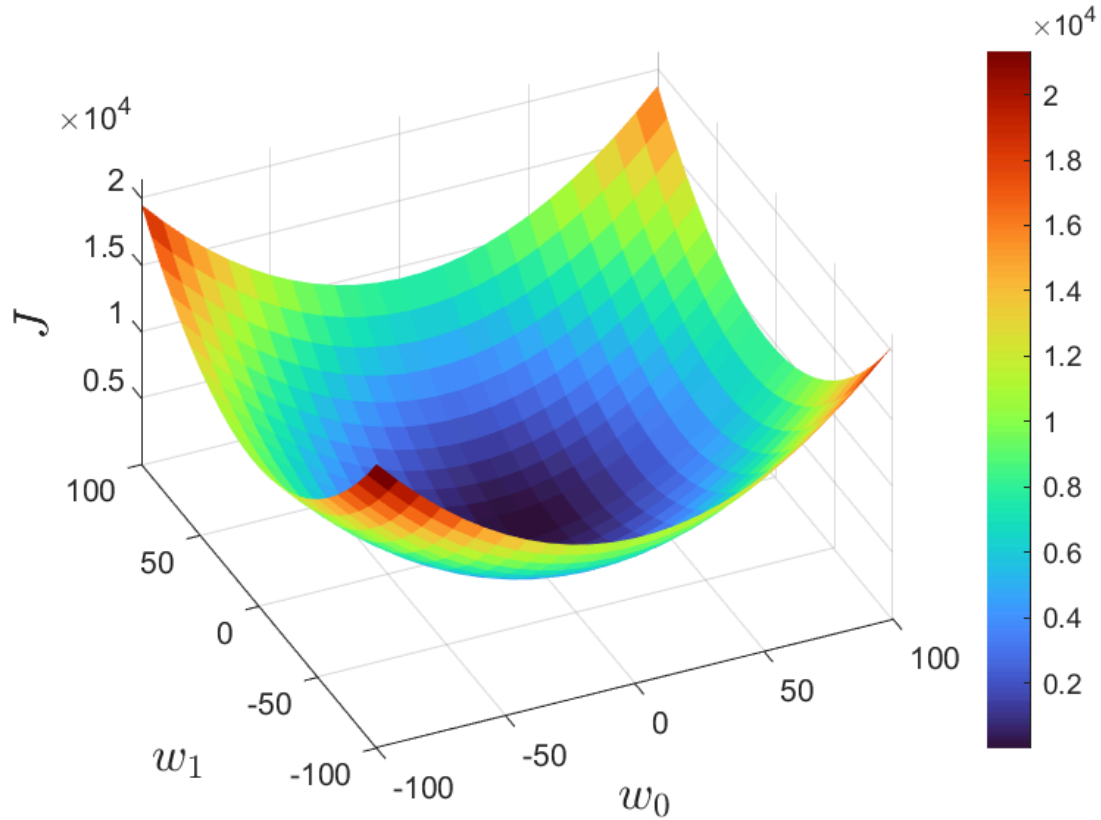


Figura 2.1: Superfície de erro $J(w_0, w_1)$.

Filtragem Adaptativa - TIP 7188

Prof. Dr. Charles Casimiro Cavalcante
Prof. Dr. Guilherme de Alencar Barreto

Período: 2022.2

Lista de Exercícios No. 2: Filtragem Linear Ótima

- 1. (Filtragem ótima)** Considere um problema de filtragem de Wiener conforme caracterizado a seguir. A matriz de correlação \mathbf{R}_x de um vetor de entrada $\mathbf{x}(n)$ é dada por

$$\mathbf{R}_x = \begin{bmatrix} 1 & 0.5 \\ 0.5 & 1 \end{bmatrix}.$$

O vetor de correlação cruzada \mathbf{p}_{xd} entre o vetor de entrada \mathbf{x} e a resposta desejada $d(n)$ é

$$\mathbf{p}_{xd} = \begin{bmatrix} 0.5 \\ 0.25 \end{bmatrix}$$

- (a) Encontre o vetor de coeficientes do filtro de Wiener.
- (b) Qual é o mínimo erro médio quadrático fornecido por este filtro?
- (c) Formule uma representação do filtro de Wiener em termos dos autovalores da matriz \mathbf{R}_x e de seus autovetores associados.

- 2. (Erro médio quadrático mínimo)** Mostre que a equação do erro mínimo pode se escrita da seguinte maneira:

$$\mathbf{A} \begin{bmatrix} 1 \\ -\mathbf{w} \end{bmatrix} = \begin{bmatrix} J_{\min} \\ \mathbf{0} \end{bmatrix}$$

em que J_{\min} é o mínimo erro médio quadrático, \mathbf{w} é o filtro de Wiener, e \mathbf{A} é a matriz de correlação do vetor aumentado

$$\begin{bmatrix} d(n) \\ \mathbf{x}(n) \end{bmatrix}$$

em que $d(n)$ é o sinal desejado e $\mathbf{x}(n)$ é o sinal de entrada do filtro de Wiener.

- 3. (Cancelamento de ruído)** Em várias aplicações práticas há uma necessidade de cancelar ruído que foi adicionado a um sinal. Por exemplo, se estamos usando o telefone celular dentro de um ruído e o ruído do carro ou rádio é adicionado à mensagem que estamos tentando transmitir. A Figura 1 ilustra as situações de contaminação de ruído. Calcule o filtro de Wiener (filtro ótimo) de tal configuração em relação às estatísticas dos sinais envolvidos que você dispõe (conhece).

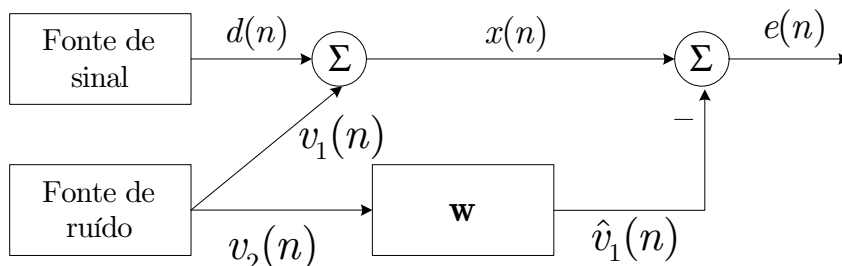


Figure 1: Esquema de cancelamento de ruído.

4. (Predição ótima) Seja um processo estocástico dado por

$$x(n) = s(n+a) + s(n-4a),$$

em que $S(n)$ é um processo estocástico WSS dado e a é uma constante.

Deseja-se filtrar o processo de tal forma obter-se um processo $D(s) = s(n-a)$, o qual também sabe-se que é um processo WSS. Suponha que o sinal $d(n)$ possua média nula e variância unitária.

- (a) Calcule o filtro, com dois coeficientes, que fornece a solução ótima em relação ao erro médio quadrático.
- (b) Calcule o preditor direto ótimo de passo unitário, com dois coeficientes, que fornece a solução ótima em relação ao erro médio quadrático.
- (c) Compare as soluções dos dois.

5. (Superfície de erro) Suponha que foram encontrados os seguintes coeficientes de autocorrelação: $r_x(0) = 1$ e $r_x(1) = 0$. Tais coeficientes foram obtidos de amostras corrompidas com ruído. Além disso, a variância do sinal desejado é $\sigma_d^2 = 24.40$ e o vetor de correlação cruzada é $\mathbf{p}_{xd} = [2 \ 4.5]^T$. Encontre:

- (a) O valor dos coeficientes do filtro de Wiener.
- (b) A superfície definida por $J(\mathbf{w})$. Faça um gráfico da mesma.

3 Implementações em MATLAB

A implementação é dividida em dois arquivos. O primeiro é chamado *filter_hw.m*¹, onde há a definição dos métodos utilizados nos problemas. O segundo é o script *main.m*², que chama os métodos para serem executados. São apresentados nas sessões 3.1 e 3.2, respectivamente.

¹*filter_hw.m*: https://github.com/lucasabdalalah/Courses-HWs/blob/master/Master/TIP7188-FILTRAGEM_ADAPTATIVA/homework/code/filter_hw.m

²*main.m*: https://github.com/lucasabdalalah/Courses-HWs/blob/master/Master/TIP7188-FILTRAGEM_ADAPTATIVA/homework/code/main.m.

Table of Contents

MÉTODOS	1
HOMEWORK 2 - PROBLEM 5	1
HOMEWORK 3 - PROBLEM 4	2
HOMEWORK 3 - PROBLEM 5	7
HOMEWORK 3 - PROBLEM 6	11
HOMEWORK 4 - PROBLEM 1	24
HOMEWORK 4 - PROBLEM 3	25
VERBOSE DETAILS	35
SAVE DATA TO TXT FILE	35

MÉTODOS

[TIP7188 - Filtragem Adaptativa] Author: Lucas Abdalah

filter_hw.m

filter_hw is a package developed for the Adaptive Filtering Course It is a way to make a compilation for all function

CONTENT

HOMEWORK 2 - PROBLEM 5

SAVE DATA TO TXT FILE

```
filter_hw.MAT2TXT    - Write a matrix X into a txt file
filter_hw.TENSOR2TXT - Write a 3D tensor X into a txt file
```

PLACE HOLDER

```
classdef filter_hw
```

```
methods(Static)
```

HOMEWORK 2 - PROBLEM 5

```
function hw2p5(varargin)
% FILTER_HW.HW2P5 Perform the error surface propose on the Hw 2,
% problem 5
%
% See also.

if isempty(varargin)
    save_results = false;
else
    save_results = varargin{1};
end

N = 25;
```

```

w_lim = 100;
w = [linspace(-w_lim,w_lim,N); linspace(-w_lim,w_lim,N)];
[w_0, w_1] = meshgrid(w(1,:), w(2,:));
J_surface = @(w_0, w_1) 24.40 - 4.*w_0 - 9.*w_1 + w_0.^2 + w_1.^2;
J = J_surface(w_0, w_1);
h = figure();
surf(w_0, w_1, J, 'EdgeColor', 'none');
colormap turbo;
xlabel('$w_0$', 'FontSize', 16, 'interpreter', 'latex');
ylabel('$w_1$', 'FontSize', 16, 'interpreter', 'latex');
zlabel('$J$', 'FontSize', 16, 'interpreter', 'latex');
view([-24.5036297640653 47.6514617014408]);
colorbar('box', 'off');
grid on;
axis tight;
pathName = 'figures/';
filter_hw.export_fig(save_results, h, [pathName, 'hw2p5']);
end

```

HOMWORK 3 - PROBLEM 4

```

function filter_path(signal_d_var, weights, wiener, Rx, p, c_)
% FILTER_HW.FILTER_PATH Perform the weights path surface
%
% See also.
step = 0.25;
X = meshgrid (-1:step:1,-1:step:1);
w = [X(:), reshape(transpose(X),[],1)];
[wLen, ~] = size(w);
J = zeros(wLen, 1);
for n = 1:wLen
    J(n) = signal_d_var - 2*w(n,:)*p + w(n,:)*Rx*w(n,:).';
end
contour(X, X', reshape(J,size(X)), '-.', 'color', 'k');
hold on;
scatter(weights(1,:), weights(2, :), '.', 'MarkerEdgeColor', c_);
hold off;
ha = annotation('textarrow', [0 0], [0 0], 'String', 'Wiener');
ha.Parent = gca;
ha.X = [wiener(1)+0.15 wiener(1)];
ha.Y = [wiener(2)-0.4 wiener(2)];
grid on;

end

function [error, weights] = dga(signal_x, signal_d, order, mi, Rx, p)
% FILTER_HW.DGA Perform the Deterministic Gradient Algorithm
%
% See also.
N = length(signal_x);
error = zeros(N,1);
weights = zeros(order, N);
signal_d = signal_d(order:end,1);

```

```

        for n = 1:(N - order - 1)
            error(n,1) = signal_d(n) - weights(:,n)'\*signal_x(n:n
+order-1);
            weights(:,n+1) = weights(:,n) - 2*mi*(Rx*weights(:,n) - p);
        end
    end
end

```

```

function [error, weights] = lms(signal_x, signal_d, order, mi)
% FILTER_HW.LMS Perform the LMS Algorithm
%
% See also.
N = length(signal_x);
error = zeros(N,1);
weights = zeros(order, N);
signal_d = signal_d(order:end,1);

    for n = 1:(N - order - 1)
        error(n) = signal_d(n) - weights(:,n)' * signal_x(n:n
+order-1);
        weights(:,n+1) = weights(:,n) + 2 * mi * error(n) *
signal_x(n:n+order-1);
    end
    weights = flip(weights);
end

```

```

function [error, weights] = newton(signal_x, signal_d, order, mi,
wiener)
% FILTER_HW.NEWTON Perform the Newton Algorithm
%
% See also.
N = length(signal_x);
error = zeros(N,1);
weights = zeros(order, N);
signal_d = signal_d(order:end,1);

    for n = 1:(N - order - 1)
        error(n,1) = signal_d(n) - weights(:,n)'\*signal_x(n:n
+order-1);
        weights(:,n+1) = weights(:,n) - mi*(weights(:,n) - wiener);
    end
end

```

```

function [error, weights] = nlms(signal_x, signal_d, order, mi, gamma)
% FILTER_HW.NLMS Perform the NLMS Algorithm
%
% See also.
N = length(signal_x);
error = zeros(N,1);
weights = zeros(order, N);
signal_d = signal_d(order:end,1);

```

```

        for n = 1:(N - order - 1)
            mi_normalized = mi/(gamma + norm(signal_x));
            error(n) = signal_d(n) - weights(:,n)' * signal_x(n:n +
order-1);
            weights(:,n+1) = weights(:,n) + 2 * mi_normalized * error(n)
* signal_x(n:n+order-1);
        end
        weights = flip(weights);
    end

function hw3p4(varargin)

    % Save or not the results
    if isempty(varargin)
        save_results = false;
    else
        save_results = varargin{1};
    end

    pathName = 'figures/';

    h0 = figure();
    viscircles([0, 0], 1, 'Color', 'k', 'LineStyle', '-', 'LineWidth',
1.5);
    line([0 0], [-1 1], 'Color', 'k', 'HandleVisibility', 'off');
    line([-1 1], [0 0], 'Color', 'k', 'HandleVisibility', 'off');
    hold on
    scatter(-1.6, 0, 'o', 'filled');
    scatter(0.45, 0, 'o', 'filled');
    hold off
    xlabel('$\Re (Z)$', 'interpreter', 'latex');
    ylabel('$\Im (Z)$', 'interpreter', 'latex');
    axis([-1.7 1.7 -1.7 1.7]);
    legend('Channel Zeros', 'Filter Zeros', 'Location', 'Northeast');
    grid minor
    axis square

    filter_hw.export_fig(save_results, h0, [pathName, 'hw3p4-zeros']);

    % Color scheme to plot -----
    c_ = struct('dg', [57 106 177]./255, 'lms', [204 37
41]./255, 'newton', [62 150 81]./255, 'nlms', [107 76
154]./255, 'mean', 'k');
    % General Setup -----
    N = 1000; % Number of samples
    order = 2; % Filter order
    % Signal Model -----
    signal_d = randn(N,1);
    signal_d_var = var(signal_d);
    % Noisy Version -----
    Hz = [1 1.6];

```

```

    signal_x = filter(Hz,1,signal_d);
    noise = sqrt(1/(10^(inf/10))).*randn(N,1);
    signal_x = signal_x + noise;
    % Wiener Filter -----
    Rxcorr = sort(xcorr(Hz));
    Rx = reshape([Rxcorr(end) Rxcorr], [2, 2]); % Autocorrelation
matrix
    p = eye(2,1); % Cross-correlation
    wiener = Rx\p; % Wiener solution
    fprintf('Wiener solution: %2.2f \n %2.2f \n', wiener);
    % Deterministic Gradient Algorithm
    -----
    dg.mi = 1e-2;
    [dg.error, dg.weights] = filter_hw.dga(signal_x, signal_d, order,
    dg.mi, Rx, p);
    % Newton Implementation -----
    newton.mi = 5e-2;
    [newton.error, newton.weights] = filter_hw.newton(signal_x,
    signal_d, order, newton.mi, wiener);
    % LMS Algorithm -----
    lms.mi = 1e-3;
    [lms.error, lms.weights] = filter_hw.lms(signal_x, signal_d,
    order, lms.mi);
    % NLMS Algorithm -----
    nlms.mi = 5e-1;
    gamma = 0.5;
    [nlms.error, nlms.weights] = filter_hw.nlms(signal_x, signal_d,
    order, nlms.mi, gamma);
    % Plot - Deterministic Gradient Algorithm
    -----
    h1 = figure(1);
    subplot(2,1,1);
    semilogy(1:N, dg.error.^2, '-', 'color', c_.dg , "linewidth", 1); %
MSE
    hold on
    semilogy(1:N, repelem(mean(dg.error.^2), N), '--', 'color',
    c_.mean, "linewidth", 1);
    hold off
    xlabel('Iterations');
    ylabel('MSE');
    legend('Deterministic Gradient', 'Mean', 'Location', 'Best')
    grid on;
    axis tight
    subplot(2,1,2);
    filter_hw.filter_path(signal_d_var, dg.weights, wiener, Rx, p,
    c_.dg); % Solution Path
    xlabel('$w_1$', 'interpreter', 'latex');
    ylabel('$w_0$', 'interpreter', 'latex');
    legend('Solution Contour', 'Deterministic
Gradient', 'Location', 'Northeast')
    axis tight

    filter_hw.export_fig(save_results, h1, [pathName, 'hw3p4-dga']);

```

```

% Plot - Newton Implementation
-----
h2 = figure(2);
subplot(2,1,1);
semilogy(1:N, newton.error.^2, '-', 'color', c_.newton, "linewidth",
1); % MSE Curve
hold on
semilogy(1:N, repelem(mean(newton.error.^2), N), '--', 'color',
c_.mean, "linewidth", 1);
hold off
xlabel('Iterations');
ylabel('MSE');
legend('Newton', 'Mean', 'Location', 'Best');
grid on;
axis tight
subplot(2,1,2);
filter_hw.filter_path(signal_d_var, newton.weights, wiener, Rx, p,
c_.newton);
xlabel('$w_1$', 'interpreter', 'latex');
ylabel('$w_0$', 'interpreter', 'latex');
legend('Solution Contour', 'Newton', 'Location', 'Northeast')
axis tight

filter_hw.export_fig(save_results, h2, [pathName, 'hw3p4-
newton']);

% Plot - LMS Algorithm -----
h3 = figure(3);
subplot(2,1,1);
semilogy(1:N, lms.error.^2, '-', 'color', c_.lms, "linewidth",
1); % MSE
hold on
semilogy(1:N, repelem(mean(lms.error.^2), N), '--', 'color',
c_.mean, "linewidth", 1);
hold off
xlabel('Samples, N');
ylabel('MSE');
legend('LMS', 'Mean', 'Location', 'Best')
grid on;
axis tight
subplot(2,1,2);
filter_hw.filter_path(signal_d_var, lms.weights, wiener, Rx, p,
c_.lms); % Solution Path
xlabel('$w_1$', 'interpreter', 'latex');
ylabel('$w_0$', 'interpreter', 'latex');
legend('Solution Contour', 'LMS', 'Location', 'Northeast')
axis tight

filter_hw.export_fig(save_results, h3, [pathName, 'hw3p4-lms']);

% Plot - NLMS Implementation -----
h4 = figure(4);
subplot(2,1,1);
semilogy(1:N, nlms.error.^2, '-', 'color', c_.nlms, "linewidth", 1);

```

```

        hold on
        semilogy(1:N, repelem(mean(nlms.error.^2), N), '--', 'color',
c_.mean, "linewidth", 1);
        hold off
        xlabel('Samples, N');
        ylabel('MSE');
        legend('NLMS', 'Mean', 'Location', 'Best');
        grid on;
        axis tight
        subplot(2,1,2);
        filter_hw.filter_path(signal_d_var, nlms.weights, wiener, Rx, p,
c_.nlms);
        xlabel('$w_1$', 'interpreter', 'latex');
        ylabel('$w_0$', 'interpreter', 'latex');
        legend('Solution Contour', 'NLMS', 'Location', 'Northeast')
        axis tight

        filter_hw.export_fig(save_results, h4, [pathName, 'hw3p4-nlms']);

end

```

HOMWORK 3 - PROBLEM 5

```

function [error, weights, signal_d_hat] = hw3p5_lms(signal_x,
signal_d, M, mi)
    N = length(signal_x);
    error = zeros(N,1);
    weights = zeros(M, N);
    signal_d_hat = zeros(size(signal_x));

    for ss = 1:(N - M)
        signal_d_hat(ss) = weights(:,ss)'*signal_x(ss:ss+M-1);
        error(ss) = signal_d(ss) - weights(:,ss)' * signal_x(ss:ss
+M-1);
        weights(:,ss+1) = weights(:,ss) + 2 * mi * error(ss) *
signal_x(ss:ss+M-1);
    end
    signal_d_hat = zscore(signal_d_hat);
end

function hw3p5(varargin)
    % General Setup
    c_ = struct('original', [57 106 177]./255, 'estimated', [204 37
41]./255, 'lms', [107 76 154]./255, 'mean', 'k');
    order = 15; M = order + 1;
    N = 5000 + M; % Number of samples
    mi_ceil = 1/97;

    % Signal Model
    SNR_dB = 30;
    SNR_li = 10^(SNR_dB/10);
    variance_noise = 1/SNR_li;

```

```

noise = sqrt(variance_noise).*randn(N,1);
signal_d = zscore(randn(N,1)); % Z-score Normalization
Hz = ones(1,12);
signal_x = filtfilt(Hz,1,signal_d);
signal_x = zscore(signal_x + noise);

[mu02.error, mu02.weights, mu02.signal_d_hat] =
filter_hw.hw3p5_lms(signal_x, signal_d, M, mi_ceil/2);
[mu10.error, mu10.weights, mu10.signal_d_hat] =
filter_hw.hw3p5_lms(signal_x, signal_d, M, mi_ceil/10);
[mu50.error, mu50.weights, mu50.signal_d_hat] =
filter_hw.hw3p5_lms(signal_x, signal_d, M, mi_ceil/50);

% Plot - mu/2
h1 = figure();
subplot(3,1,1)
semilogy(1:N, abs(mu02.error).^2, '-', 'color',
c_.lms , "linewidth", 1);
hold on
semilogy(1:N, repelem(mean(abs(mu02.error).^2), N), '--', 'color',
c_.mean , "linewidth", 1);
hold off
xlabel('Samples, N');
xlim([0 N]);
ylabel('MSE');
legend('LMS', 'Mean', 'Location', 'Best');
title('$\mu_{\max}/2$', 'interpreter', 'latex')
grid on;

subplot(3,1,2)
[Hf,wf] = freqz(mu02.weights(:, N - M + 1).',1, 'whole', 512);
[Hc,wc] = freqz(ones(1,12), 1, 'whole', 512);
plot(wc/pi,20*log10(abs(Hc)), '--', 'color',
c_.original, "linewidth", 1.5);
hold on;
plot(wf/pi,20*log10(abs(Hf)), '-', 'color',
c_.estimated, "linewidth", 1.5);
xlabel('Normalized Frequency (\times\pi rad/sample)')
ylabel('Magnitude (dB)')
legend('System', 'Filter', 'Location', 'Best');
grid on;

subplot(3,1,3)
plot(1:N, signal_d, '--', 'color', c_.original, "linewidth", 1.5);
hold on;
plot(1:N, mu02.signal_d_hat, '-', 'color',
c_.estimated, "linewidth", 1.5);
xlabel('Samples, N');
xlim([1000 1050]);
ylabel('Magnitude');
legend('Original', 'Estimated', 'Location', 'Best');
grid on;
% savefig_tight(h1, 'figures/hw3p5b-mu02', 'both');

```

```

% Plot - mu/10
h2 = figure();
subplot(3,1,1)
semilogy(1:N, abs(mu10.error).^2, '-', 'color',
c_.lms , "linewidth", 1);
hold on
semilogy(1:N, repelem(mean(abs(mu10.error).^2), N), '--', 'color',
c_.mean , "linewidth", 1);
hold off
xlabel('Samples, N');
xlim([0 N]);
ylabel('MSE');
legend('LMS', 'Mean', 'Location', 'Best');
title('$\mu_{\max}/10$', 'interpreter', 'latex')
grid on;

subplot(3,1,2)
[Hf,wf] = freqz(mu10.weights(:, N - M + 1), 1, 'whole', 512);
[Hc,wc] = freqz(ones(1,12), 1, 'whole', 512);
plot(wc/pi, 20*log10(abs(Hc)), '--', 'color',
c_.original, "linewidth", 1.5);
hold on;
plot(wf/pi, 20*log10(abs(Hf)), '-', 'color',
c_.estimated, "linewidth", 1.5);
xlabel('Normalized Frequency (\times\pi rad/sample)')
ylabel('Magnitude (dB)')
legend('System', 'Filter', 'Location', 'Best');
grid on;

subplot(3,1,3)
plot(1:N, signal_d, '--', 'color', c_.original, "linewidth", 1.5);
hold on;
plot(1:N, mu10.signal_d_hat, '-', 'color',
c_.estimated, "linewidth", 1.5);
xlabel('Samples, N');
xlim([4000 4050]);
ylabel('Magnitude');
legend('Original', 'Estimated', 'Location', 'Best');
grid on;
% savefig_tight(h2, 'figures/hw3p5b-mu10', 'both');

% Plot - mu/50
h3 = figure();
subplot(3,1,1)
semilogy(1:N, abs(mu50.error).^2, '-', 'color',
c_.lms , "linewidth", 1);
hold on
semilogy(1:N, repelem(mean(abs(mu50.error).^2), N), '--', 'color',
c_.mean , "linewidth", 1);
hold off
xlabel('Samples, N');
xlim([0 N]);
ylabel('MSE');
legend('LMS', 'Mean', 'Location', 'Best');

```

```

title('$\mu_{\max}/50$', 'interpreter', 'latex')
grid on;

subplot(3,1,2)
[Hf,wf] = freqz(mu50.weights(:, N - M + 1).',1, 'whole', 512);
[Hc,wc] = freqz(ones(1,12), 1, 'whole', 512);
plot(wc/pi,20*log10(abs(Hc)), '--', 'color',
c_.original, "linewidth", 1.5);
hold on;
plot(wf/pi,20*log10(abs(Hf)), '-', 'color',
c_.estimated, "linewidth", 1.5);
xlabel('Normalized Frequency (\times\pi rad/sample)')
ylabel('Magnitude (dB)')
legend('System', 'Filter', 'Location', 'Best');
grid on;

subplot(3,1,3)
plot(1:N, signal_d, '--','color', c_.original, "linewidth", 1.5);
hold on;
plot(1:N, mu50.signal_d_hat, '-', 'color',
c_.estimated, "linewidth", 1.5);
xlabel('Samples, N');
xlim([4000 4050]);
ylabel('Magnitude');
legend('Original', 'Estimated', 'Location', 'Best');
grid on;
% savefig_tight(h3, 'figures/hw3p5b-mu50', 'both');

% Misadjustment for all scenarios
Mcoef = 12;
Rxx = zeros(Mcoef,Mcoef);
RMC = 10000;

for k = 1:RMC
    x = zscore(randn(RMC,1) + randn(RMC,1));
    y = zeros(length(x) + Mcoef - 1, 1);
    for i = Mcoef:length(x)
        for ii = 0:11
            y(i + Mcoef - 1) = y(i + Mcoef - 1) + x(i - ii);
        end
    end
    [~,R] = corrmtx(y, Mcoef - 1, 'autocorrelation');

    Rxx = Rxx + R;
end

Rxx = Rxx./RMC;

rTrace = trace(Rxx);
rTraceceil = trace(ceil(Rxx));

mis.the02 = ((0.05/2)*(rTraceceil))/(1 - (0.05/2)*(rTraceceil));
mis.emp02 = ((0.05/2)*(rTrace))/(1 - (0.05/2)*(rTrace));

```

```

mis.the10 = ((0.05/10)*(rTraceceil))/(1 - (0.05/10)*(rTraceceil));
mis.emp10 = ((0.05/10)*(rTrace))/(1 - (0.05/10)*(rTrace));
mis.the50 = ((0.05/50)*(rTraceceil))/(1 - (0.05/50)*(rTraceceil));
mis.emp50 = ((0.05/50)*(rTrace))/(1 - (0.05/50)*(rTrace));

Export = [mis.the02 mis.emp02; mis.the10 mis.emp10; mis.the50
mis.emp50];
filter_hw.mat2txt('hw3p5mis.txt', Export, 'w', 'Misadjustment');

fprintf('Misadjustment ----- \n\t Emp | The \n');
fprintf('\t %2.4f | %2.4f \n', Export');
end

```

HOMWORK 3 - PROBLEM 6

```

function SER = hw3p6(varargin)
    % (a) -----
    c_ = struct('original', [57 106 177]./255, 'estimated', [204 37
41]./255, 'nlms', [107 76 154]./255, 'mean', 'k');

    disp('a')
    % Training Phase
    -----

    % General setup
    mi = 0.4e-0;
    gamma = 1e-3;
    order = 15; M = order + 1;
    N = 500; % Samples

    % Empty vectors to fill with obtained coefficients.
    error = zeros(N,1);
    weights = zeros(M, N);

    % Signal Model
    SNR = inf;
    QAM_train = 4;
    signal_d_train = randi([0,QAM_train - 1],[N 1]);
    signal_d_train = qammod(signal_d_train,QAM_train);
    Hz = [0.5 1.2 1.5 -1];
    signal_x_train = filtfilt(Hz,1,signal_d_train);
    snr = 10^(SNR/10);
    energy = mean(abs(signal_x_train(:)).^2);
    noise = sqrt(energy.*1/snr/2) * (complex(randn(N,1), randn(N,1)));

    % Generating the noisy received signal.
    signal_x_train = signal_x_train + noise;
    % NLMS algorithm
    for s = M:N
        window_x = signal_x_train(s:-1:s-M+1);
        mi_normalized = mi/(gamma + norm(window_x)^2);
        error(s) = signal_d_train(s-M+1) - weights(:,s)'*window_x;
        weights(:,s+1) = weights(:,s) + mi_normalized * conj(error(s))
    * window_x;

```

```

end

% Transmission
-----

N = 5000 + M;

% Signal Model
SNR = 30;
QAM = 16;
signal_d = randi([0,QAM - 1],[N 1]); % The same pilot for every
pilot frame and block.
signal_d = qammod(signal_d,QAM); % 4-QAM Pilot Signal.
signal_x = filtfilt(Hz,1,signal_d);
snr = 10^(SNR/10);
energy = mean(abs(signal_x(:)).^2); % Energy symbol pilot.
noise = sqrt(energy.*1/snr/2) * (complex(randn(N,1), randn(N,1)));
signal_x = signal_x + noise;

% Empty vectors to fill with obtained coefficients.
weightsShape = weights(:,s+1);
error = zeros(N,1);
weights = zeros(M, N);
weights(:,M) = weightsShape;
signal_d_hat = zeros(size(signal_d));

% NLMS algorithm with QAM signal
for s = M:N
    window_x = signal_x(s:-1:s-M+1);
    mi_normalized = mi/(gamma + norm(window_x)^2);
    signal_d_hat(s-M+1) = weights(:,s)'*window_x; % Filtering the
signal
    error(s) = qammod(qamdemod(signal_x(s-M+1),QAM),QAM) -
weights(:,s)'*window_x;
    weights(:,s+1) = weights(:,s) + mi_normalized * conj(error(s))
* window_x;
end

% MSE Curve
h1 = figure();
semilogy(1:N, abs(error).^2, '-', 'color', c_.nlms , "linewidth",
1);
hold on
semilogy(1:N, repelem(mean(abs(error).^2), N), '--', 'color',
c_.mean , "linewidth", 1);
hold off
xlabel('Samples, N');
ylabel('MSE');
xlim([0 N]);
legend('NLMS', 'Mean', 'Location', 'Best');
grid on;
% savefig_tight(h1, 'figures/hw3p6a-MSE', 'both');

% Temporal Evolution
ShowEvolution = qamdemod(signal_d_hat,QAM);

```

```

    Lsamples = 50;
    h2 = figure();
    subplot(2,2,1)
    stem(1:Lsamples, qamdemod(signal_d(1:Lsamples),QAM),'-', 'color',
c_.original, "linewidth", 1, "markersize", 2);
    hold on;
    stem(1:Lsamples, ShowEvolution(1:Lsamples), '--', 'color',
c_.estimated, "linewidth", 1, "markersize", 2);
    hold off;
    xlabel('Sample, N');
    ylabel('Magnitude');
    axis([0 50 0 20])
    grid on;
    subplot(2,2,2)
    stem(300:350, qamdemod(signal_d(300:350),QAM),'-', 'color',
c_.original, "linewidth", 1, "markersize", 2);
    hold on;
    stem(300:350, ShowEvolution(300:350), '--', 'color',
c_.estimated, "linewidth", 1, "markersize", 2);
    hold off;
    xlabel('Sample, N');
    ylabel('Magnitude');
    axis([300 350 0 20])

legend('Original', 'Estimated', 'Location', 'northeastoutside', 'Orientation', 'Horizontal', 'Units', 'normalized');
legend boxoff
grid on;
subplot(2,2,3)
stem(3000:3050, qamdemod(signal_d(3000:3050),QAM),'-', 'color',
c_.original, "linewidth", 1, "markersize", 2);
hold on;
stem(3000:3050, ShowEvolution(3000:3050), '--', 'color',
c_.estimated, "linewidth", 1, "markersize", 2);
hold off;
xlabel('Sample, N');
ylabel('Magnitude');
axis([3000 3050 0 20])
grid on;
subplot(2,2,4)
stem((5000-Lsamples):5000, qamdemod(signal_d((5000-
Lsamples):5000),QAM),'-', 'color', c_.original, "linewidth",
1, "markersize", 2);
hold on;
stem((5000-Lsamples):5000, ShowEvolution((5000-
Lsamples):5000), '--', 'color', c_.estimated, "linewidth",
1, "markersize", 2);
hold off;
xlabel('Sample, N');
ylabel('Magnitude');
axis([4950 5000 0 20])
grid on;
% savefig_tight(h2, 'figures/hw3p6a-evolution', 'both');

```

```

% Plot Results
h3 = figure();
subplot(2,2,1)
plot(signal_d_train, '.', 'color', 'y', "markersize", 8)
title('Training');
xlabel('In Phase');
ylabel('Quadrature');
axis([-2 2 -2 2]);
set(gca, 'Color', 'k');
subplot(2,2,2)
plot(signal_d, '.', 'color', 'y', "markersize", 8)
title('Original');
xlabel('In Phase');
ylabel('Quadrature');
set(gca, 'Color', 'k');
subplot(2,2,3)
plot(signal_x, '.', 'color', 'y', "markersize", 8)
title('Transmitted');
xlabel('In Phase');
ylabel('Quadrature');
set(gca, 'Color', 'k');
subplot(2,2,4)

plot(qammod(qamdemod(signal_d_hat, QAM), QAM), '.', 'color', 'y', "markersize",
8)
title('Filter and Decisor');
xlabel('In Phase');
ylabel('Quadrature');
set(gca, 'Color', 'k');
set(gcf, 'InvertHardcopy', 'off')

% savefig_tight(h3, 'figures/hw3p6a-QAM', 'both');

% General setup

% (b) -----
disp('b')

% General setup
mi = 1e-3;
order = 15; M = order + 1;
N = 5000 + 50;

% Signal Model
SNR = 30;
QAM = 16;
signal_d = qammod(randi([0, QAM - 1], [N 1]), QAM);
Hz = [0.5 1.2 1.5 -1];
signal_x = filter(Hz, 1, signal_d);
snr = 10^(SNR/10);
energy = mean(abs(signal_x(:)).^2); % Energy symbol pilot.
noise = sqrt(energy.*(1/snr)/2)*complex(randn(N,1), randn(N,1));
signal_x = signal_x + noise;

```

```

% Training (50 Samples)
N = 50;
error = zeros(N,1);
weights = zeros(M, N);

% Signal Model
QAM_train = 4;
signal_d_train = (1/sqrt(2)) * qammod(randi([0,QAM_train - 1],[N
1]),QAM_train);
Hz = [0.5 1.2 1.5 -1];
signal_x_train = filter(Hz,1,signal_d_train);
snr = 10^(inf/10);
energy = mean(abs(signal_x_train(:)).^2);
noise = sqrt(energy.*1/snr/2) * (complex(randn(N,1), randn(N,1)));
signal_x_train = signal_x_train + noise;

% LMS algorithm
for s = M:N
    window_x = signal_x_train(s:-1:s-M+1);
    error(s) = signal_d_train(s-M+1) - weights(:,s)'*window_x;
    weights(:,s+1) = weights(:,s) + 2 * mi * conj(error(s)) *
window_x;
end

% Transmission
N = 5000 + 50; % Samples

% Empty vectors
weights = zeros(M, N);
error = zeros(N,1);
weightsShape = weights(:,s+1);
weights(:,M) = weightsShape;
signal_d_hat_50 = zeros(size(signal_d));

for s = M:N
    windowX= signal_x(s:-1:s-M+1);
    signal_d_hat_50(s-M+1) = weights(:,s)'*windowX;
    error(s) = qammod(qamdemod(signal_x(s-M+1),QAM),QAM) -
weights(:,s)'*windowX;
    weights(:,s+1) = weights(:,s) + 2 * mi * conj(error(s)) *
windowX;
end

% Training (150 Samples)
N = 150;
% Empty vectors
error = zeros(N,1);
weights = zeros(M, N);

% Signal Model
QAM_train = 4;
signal_d_train = randi([0,QAM_train - 1],[N 1]);
signal_d_train = (1/sqrt(2)) * qammod(signal_d_train,QAM_train);

```

```

Hz = [0.5 1.2 1.5 -1];
signal_x_train = filter(Hz,1,signal_d_train);
snr = 10^(inf/10);
energy = mean(abs(signal_x_train(:)).^2);
noise = sqrt(energy.*1/snr/2) * (complex(randn(N,1), randn(N,1)));
signal_x_train = signal_x_train + noise;

% LMS
for s = M:N
    aux = signal_x_train(s:-1:s-M+1);
    error(s) = signal_d_train(s-M+1) - weights(:,s)'*aux;
    weights(:,s+1) = weights(:,s) + 2 * mi * conj(error(s)) *
windowX;
end

% Transmission

N = 5000 + 50; % Samples
% Empty vectors
error = zeros(N,1);
weightsShape = weights(:,s+1);
weights = zeros(M, N);
weights(:,M) = weightsShape;
signal_d_hat_150 = zeros(size(signal_d));

% LMS algorithm
for s = M:N
    windowX= signal_x(s:-1:s-M+1);
    signal_d_hat_150(s-M+1) = weights(:,s)'*windowX;
    error(s) = qammod(qandemod(signal_x(s-M+1),QAM),QAM) -
weights(:,s)'*windowX;
    weights(:,s+1) = weights(:,s) + 2 * mi * conj(error(s)) *
windowX;
end

% Training (300 Samples)
N = 300;
% Empty vectors
error = zeros(N,1);
weights = zeros(M, N);
% Signal Model
QAM_train = 4;
signal_d_train = randi([0,QAM_train - 1],[N 1]);
signal_d_train = (1/sqrt(2)) * qammod(signal_d_train,QAM_train);
Hz = [0.5 1.2 1.5 -1];
signal_x_train = filter(Hz,1,signal_d_train);
snr = 10^(inf/10);
energy = mean(abs(signal_x_train(:)).^2);
noise = sqrt(energy.*1/snr/2) * (complex(randn(N,1), randn(N,1)));
signal_x_train = signal_x_train + noise;

% LMS algorithm
for s = M:N
    aux = signal_x_train(s:-1:s-M+1);

```

```

        error(s) = signal_d_train(s-M+1) - weights(:,s)'\*aux;
        weights(:,s+1) = weights(:,s) + 2 * mi * conj(error(s)) *
windowX;
    end

    % Transmission

    % Empty vectors
    N = 5000 + 50;
    error = zeros(N,1);
    weightsShape = weights(:,s+1);
    weights = zeros(M, N);
    weights(:,M) = weightsShape;
    signal_d_hat_300 = zeros(size(signal_d));

    % LMS algorithm
    for s = M:N
        windowX= signal_x(s:-1:s-M+1);
        signal_d_hat_300(s-M+1) = weights(:,s)'\*windowX;
        error(s) = qammod(qamdemod(signal_x(s-M+1),QAM),QAM) -
weights(:,s)'\*windowX;
        weights(:,s+1) = weights(:,s) + 2 * mi * conj(error(s)) *
windowX;
    end

    % Training (500 Samples)
    N = 500;

    % Empty vectors
    error = zeros(N,1);
    weights = zeros(M, N);

    % Signal Model
    QAM_train = 4;
    signal_d_train = randi([0,QAM_train - 1],[N 1]);
    signal_d_train = qammod(signal_d_train,QAM_train);
    Hz = [0.5 1.2 1.5 -1];
    signal_x_train = filter(Hz,1,signal_d_train);
    snr = 10^(inf/10);
    energy = mean(abs(signal_x_train(:)).^2);
    noise = sqrt(energy.*1/snr/2) * (complex(randn(N,1), randn(N,1)));
    signal_x_train = signal_x_train + noise;

    % LMS
    for s = M:N
        aux = signal_x_train(s:-1:s-M+1);
        error(s) = signal_d_train(s-M+1) - weights(:,s)'\*aux;
        weights(:,s+1) = weights(:,s) + 2 * mi * conj(error(s)) *
windowX;
    end

    % Transmission
    N = 5000 + 50;

```

```

% Empty vectors
error = zeros(N,1);
weightsShape = weights(:,s+1);
weights = zeros(M, N);
weights(:,M) = weightsShape;
signal_d_hat_500 = zeros(size(signal_d));

% LMS algorithm
for s = M:N
    windowX= signal_x(s:-1:s-M+1);
    signal_d_hat_500(s-M+1) = weights(:,s)'*windowX;
    error(s) = qamdemod(qamdemod(signal_x(s-M+1),QAM),QAM) -
weights(:,s)'*windowX;
    weights(:,s+1) = weights(:,s) + 2 * mi * conj(error(s)) *
windowX;
end

% Temporal Evolution
selectWindow = 4975:5000;
[~,~,temporalShift] =
alignsignals(qamdemod(signal_d,QAM),qamdemod(signal_d_hat_500,QAM));

    evolutionWindow =
    circshift(qamdemod(signal_d_hat_50,QAM),temporalShift);
    evolutionWindow_50 = evolutionWindow(selectWindow);
    evolutionWindow =
    circshift(qamdemod(signal_d_hat_150,QAM),temporalShift);
    evolutionWindow_150 = evolutionWindow(selectWindow);
    evolutionWindow =
    circshift(qamdemod(signal_d_hat_300,QAM),temporalShift);
    evolutionWindow_300 = evolutionWindow(selectWindow);
    evolutionWindow =
    circshift(qamdemod(signal_d_hat_500,QAM),temporalShift);
    evolutionWindow_500 = evolutionWindow(selectWindow);

    h4 = figure;
    subplot(2,2,1)
    stem(selectWindow,
qamdemod(signal_d(selectWindow),QAM),'-','color',
c_.original, "linewidth", 1, "markersize", 1);
    hold on;
    stem(selectWindow, evolutionWindow_50,'--','color',
c_.estimated, "linewidth", 1, "markersize", 1);
    hold off;
    title('50 Samples');
    xlabel('Sample, N');
    xlim([min(selectWindow) max(selectWindow)]);
    ylabel('Magnitude');
    ylim([0 20])

legend('Original', 'Estimated', 'Location', 'northeastoutside','Orientation', 'Ho
[0.5 0.47 0.0 1], 'Units','normalized');
grid on;

```

```

        legend boxoff
        subplot(2,2,2)
        stem(selectWindow,
qamdemod(signal_d(selectWindow),QAM),'-','color',
c_.original, "linewidth", 1, "markersize", 1);
        hold on;
        stem(selectWindow, evolutionWindow_150,'--','color',
c_.estimated, "linewidth", 1, "markersize", 1);
        hold off;
        title('150 Samples');
        xlabel('Sample, N');
        xlim([min(selectWindow) max(selectWindow)]);
        ylabel('Magnitude');
        grid on;
        subplot(2,2,3)
        stem(selectWindow,
qamdemod(signal_d(selectWindow),QAM),'-','color',
c_.original, "linewidth", 1, "markersize", 1);
        hold on;
        stem(selectWindow, evolutionWindow_300,'--','color',
c_.estimated, "linewidth", 1, "markersize", 1);
        hold off;
        title('300 Samples');
        xlabel('Sample, N');
        xlim([min(selectWindow) max(selectWindow)]);
        ylabel('Magnitude');
        grid on;
        subplot(2,2,4)
        stem(selectWindow,
qamdemod(signal_d(selectWindow),QAM),'-','color',
c_.original, "linewidth", 1, "markersize", 1);
        hold on;
        stem(selectWindow, evolutionWindow_500,'--','color',
c_.estimated, "linewidth", 1, "markersize", 1);
        hold off;
        title('500 Samples');
        xlabel('Sample, N');
        xlim([min(selectWindow) max(selectWindow)]);
        ylabel('Magnitude');
        grid on;

savefig_tight(h4, 'figures/hw3p6b-evolutionSamples', 'both');

% (c) -----
disp('c');

% General Setup
N = 500;
mi = 0.4;
gamma = 1e-3;
order = 15; M = order+1;

% Empty vectors

```

```

error = zeros(N,1);
weights = zeros(M, N);

% Signal Model
SNR = 30;
QAM_train = 4;
signal_d_train = randi([0,QAM_train - 1],[N 1]);
signal_d_train = qammod(signal_d_train,QAM_train);
Hz = [0.5 1.2 1.5 -1];
signal_x_train = filtfilt(Hz,1,signal_d_train);
snr = 10^(inf/10);
energy = mean(abs(signal_x_train(:)).^2);
noise = sqrt(energy.*1/snr/2) * complex(randn(N,1), randn(N,1));;
signal_x_train = signal_x_train + noise;

% LMS
for s = M:N
    aux = signal_x_train(s:-1:s-M+1);
    mi_normalized = mi/(gamma + norm(aux)^2);
    error(s) = signal_d_train(s-M+1) - weights(:,s)'*aux;
    weights(:,s+1) = weights(:,s) + mi_normalized * conj(error(s))
* aux;
end

% Transmission
N = 5000 + 50; % Number of samples

% Empty vectors
error = zeros(N,1);
weights = zeros(M, N);

% Signal Model
SNR = 30;
QAM = 256;
signal_d = randi([0,QAM - 1],[N 1]);
signal_d = qammod(signal_d,QAM); % 4-QAM Pilot Signal.
Hz = [0.5 1.2 1.5 -1];
signal_x = filtfilt(Hz,1,signal_d);
snr = 10^(SNR/10);
energy = mean(abs(signal_x(:)).^2);
noise = sqrt(energy.*1/snr/2)*complex(randn(N,1), randn(N,1));;
signal_x = signal_x + noise;
signal_d_hat = zeros(size(signal_d));

% NLMS
for s = M:N
    aux = signal_x(s:-1:s-M+1);
    mi_normalized = mi/(gamma + norm(aux)^2);
    signal_d_hat(s-M+1) = weights(:,s)'*aux;
    error(s) = qammod(qamdemod(signal_x(s-M+1),QAM),QAM) -
weights(:,s)'*aux;
    weights(:,s+1) = weights(:,s) + mi_normalized * conj(error(s))
* aux;
end

```

```

% MSE
h5 = figure();
semilogy(1:N, abs(error).^2, '-', 'color', c_.nlms , "linewidth",
1);
hold on
semilogy(1:N, repelem(mean(abs(error).^2), N), '--', 'color',
c_.mean , "linewidth", 1);
hold off
xlabel('Samples, N');
xlim([0 N]);
ylabel('MSE');
legend('NLMS', 'Mean', 'Location', 'Best');
grid on;
savefig_tight(h5, 'figures/hw3p6c-MSE', 'both');

% Temporal Evolution
L = 50;
aux = qamdemod(signal_d_hat,QAM);
aux1 = aux(1:L);
aux2 = aux(5000-L:5000);

figure
subplot(211)
stem(1:L, qamdemod(signal_d(1:L),QAM), '-', 'color',
c_.original, "linewidth", 1, "markersize", 3);
hold on;
stem(1:L, aux1, '-', 'color', c_.estimated, "linewidth",
1, "markersize", 3);
hold off;
title('First Samples');
xlabel('Sample, N');
xlim([0 L])
ylabel('Magnitude');

legend('Original', 'Estimated', 'Location', 'northeastoutside', 'Orientation', 'Horizontal',
[0.5 0.47 0.0 1.03], 'Units', 'normalized');
legend boxoff
grid on;
subplot(212)
stem((5000-L):5000, qamdemod(signal_d((5000-
L):5000),QAM), '-', 'color', c_.original, "linewidth", 1, "markersize",
3);
hold on;
stem((5000-L):5000, aux2, '-', 'color', c_.estimated, "linewidth",
1, "markersize", 3);
hold off;
title('Last Samples');
xlabel('Sample, N');
ylabel('Magnitude');
xlim([(5000-L) 5000])
grid on;
% savefig_tight(h5, 'figures/hw3p6c-evolution', 'both');

```

```

% (d) -----
disp('d')
close all;

% General Setup
RMC = 1000;
QAM_train = 4;
QAM_symbols = 4.^(1:4);
SNRdB = 0:10:30;
order = 15; M = order + 1;
mi = 0.4;
gamma = 1e3;
train.N = 500;
trans.N = 5000;
Hz = [0.5 1.2 1.5 -1];

train.error = zeros(train.N,1);
train.weights = zeros(M, train.N);

trans.error = zeros(trans.N,1);
trans.weights = zeros(M, trans.N);

SER = cell(RMC, length(QAM_symbols), length(SNRdB));

tic;
for rmc = 1:RMC
    for iiQAM = 1:length(QAM_symbols)
        for iiSNR = 1:length(SNRdB)
            fprintf('RMC, SNR (%2.0f, %2.0f dB) -- %2.0f-QAM \n',
rmc, SNRdB(iiSNR), QAM_symbols(iiQAM))

                % Training
                signal_d_train = qammod(randi([0,QAM_train - 1],
[train.N 1]),QAM_train);
                signal_x_train = filtfilt(Hz,1,signal_d_train);
                energy = mean(abs(signal_x_train(:)).^2); % Energy
symbol
                signal_x_train = signal_x_train + sqrt(energy.*1/
(10^(inf/10))/2) * complex(randn(train.N,1), randn(train.N,1));

                for s = M:train.N
                    aux = signal_x_train(s:-1:s-M+1);
                    mi_normalized = mi/(gamma + norm(aux)^2);
                    train.error(s) = signal_d_train(s-M+1) -
train.weights(:,s)'+aux;
                    train.weights(:,s+1) = train.weights(:,s) +
mi_normalized * conj(train.error(s)) * aux;
                end

                % Transmission
                QAM = QAM_symbols(iiQAM);
                signal_d = qammod(randi([0,QAM - 1],[trans.N 1]),QAM);
                signal_x = filtfilt(Hz,1,signal_d);

```

```

        energy = mean(abs(signal_x(:)).^2); % Energy symbol
pilot.
        signal_x = signal_x + sqrt(energy.*1/
(10^(SNRdB(iiSNR)/10))/2) * (randn(trans.N,1) + 1i*randn(trans.N,1));
        signal_d_hat = zeros(size(signal_d));

% NLMS
for s = M:trans.N
    aux = signal_x(s:-1:s-M+1);
    mi_normalized = mi/(gamma + norm(aux)^2);
    signal_d_hat(s-M+1) = trans.weights(:,s)'*aux;
    trans.error(s) = qammod(qamdemod(signal_x(s-M
+1),QAM),QAM) - trans.weights(:,s)'*aux;
    trans.weights(:,s+1) = trans.weights(:,s) +
mi_normalized * conj(trans.error(s)) * aux;
end

        SER{rmc, iiSNR, iiQAM} = sum(qamdemod(signal_d,QAM) ~=
qamdemod(signal_d_hat,QAM)) / length(qamdemod(signal_d,QAM));

    end
end
fprintf('-----\n\n')
end

t = toc;
disp(t)

c_ =
struct('QAM4', 'y', 'QAM16', 'k', 'QAM64', 'r', 'QAM256', 'b', 'mean', 'k');

h6 = figure();
semilogy(SNRdB, mean(cell2mat(SER(:, :, 1)), 1), '-', 'color',
c_.QAM4, 'linewidth', 1.5);
hold on;
semilogy(SNRdB, mean(cell2mat(SER(:, :, 2)), 1), '-', 'color',
c_.QAM16, 'Marker', 's', 'MarkerFaceColor', c_.QAM16, 'linewidth',
1.5);
semilogy(SNRdB, mean(cell2mat(SER(:, :, 3)), 1), '-.', 'color',
c_.QAM64, 'Marker', 'o', 'MarkerFaceColor', c_.QAM64, 'linewidth',
1.5);
semilogy(SNRdB, mean(cell2mat(SER(:, :, 4)), 1), '--', 'color',
c_.QAM256, 'Marker', '^', 'MarkerFaceColor', c_.QAM256, 'linewidth',
1.5);
hold off;
xlabel('SNR (dB)');
ylabel('SER');
xticks(SNRdB);
ylim([2e-3 2]);
legend('4-QAM', '16-QAM', '64-QAM', '256-
QAM', 'Location', 'Best');
grid minor

save('hw3p6d.mat', 'SNRdB', 'SER', 'c_');

```

```

savefig_tight(h6, 'figures/hw3p6d-SER', 'both');

disp('pause');
pause();
return

end

```

HOMework 4 - PROBLEM 1

```

function [y, weights] = hw4plrls(signal_x, signal_d, M, lambda,
delta, fixcoeff)
    N = length(signal_d);
    error = zeros(N,1);
    weights = zeros(M, N);
    Rd = delta*eye(M);
    y = zeros(N,1);
    weights(1,1) = 1;

    for n = 2:(N - M - 1)
        Rd = (1/lambda)*(Rd - (Rd*signal_x(n:n+M-1)*signal_x(n:n
+M-1)')*Rd)/(lambda + signal_x(n:n+M-1)'*Rd*signal_x(n:n+M-1));
        error(n) = signal_d(n) - weights(:,n-1)' * signal_x(n:n+M-1);
        weights(:,n) = weights(:,n-1) + Rd*error(n)*signal_x(n:n+M-1);
        if fixcoeff
            weights(1,n) = 1; % Impose first coeff fix
        end
        y(n) = weights(:,n-1)' * signal_x(n:n+M-1);
    end

end

function hw4pl(varargin)
    disp('hw4pl')
    c_ = struct('original', [57 106 177]./255, 'fixcoef', [204 37
41]./255, 'freecoeff', [62 150 81]./255);

    % General Setup
    N = 100;
    order = 2; M = order + 1;
    lambda = 0.98;
    delta = 1;

    % Signal Model
    t = linspace(-3*pi,3*pi,N).';
    signal_d = cos(pi*t/3);
    SNR_dB = 10;
    noise = sqrt((1/(10^(SNR_dB/10)))/2).*randn(N,1);
    signal_x = signal_d + noise;

    [fixcoef.y, fixcoef.weights] = filter_hw.hw4plrls(signal_x,
signal_d, M, lambda, delta, true);

```

```

[freecoeff.y, freecoeff.weights] = filter_hw.hw4p1rls(signal_x,
signal_d, M, lambda, delta, false);

filter_hw.mat2txt('hw4p1coef.txt',
fixcoef.weights(:,1:10).', 'w', 'coef fix');
filter_hw.mat2txt('hw4p1coef.txt',
freecoeff.weights(:,1:10).', 'a', 'free fix');

% MSE Curve
h1 = figure();
plot(signal_d, '-', 'color', 'k', 'linewidth', 1);
hold on;
plot(fixcoef.y, '--', 'color', c_.fixcoef,
'Marker', '^', 'MarkerFaceColor',
c_.fixcoef, 'MarkerIndices', 1:20:length(fixcoef.y), 'linewidth', 1);
plot(freecoeff.y, '-.', 'color', c_.freecoeff,
'Marker', 'o', 'MarkerFaceColor',
c_.freecoeff, 'MarkerIndices', 1:25:length(freecoeff.y), 'linewidth',
1);
hold off;
xlabel('Samples, N');
ylabel('Magnitude');
legend('Original (SNR = 10 dB)', 'Fix Coef', 'Free
Coef', 'Location', 'Best');
grid on;
savefig_tight(h1, 'figures/hw4p1', 'both');

end

```

HOMWORK 4 - PROBLEM 3

```

function [error, weights] = hw4p3rls(signal_d, M, SNR_dB, lambda)
    N = length(signal_d);
    error = zeros(N,1);
    weights = zeros(M, N);

    noise = sqrt((1/(10^(SNR_dB/10)))/2).*randn(N,1);
    signal_x = signal_d + noise; % Defining delta by the inverse of
the signal energy

    delta = 1/(sum(signal_x.^2)/length(signal_x));
    Rd = delta*eye(M);

    signal_d = signal_d(M:end,1);
    for ss = 2:(N - M - 1)
        Rd = (1/lambda)*(Rd - (Rd*signal_x(ss:ss+M-1)*signal_x(ss:ss
+M-1)')*Rd)/(lambda + signal_x(ss:ss+M-1)'*Rd*signal_x(ss:ss+M-1));
        error(ss) = signal_d(ss) - weights(:,ss-1)' * signal_x(ss:ss
+M-1);
        weights(:,ss) = weights(:,ss-1) + Rd*error(ss)*signal_x(ss:ss
+M-1);
    end
    weights = flip(weights);

```

```

end

function hw4p3(varargin)
    disp('hw4p3');

    c_ = struct('original', [57 106 177]./255, 'estimated', [204 37
41]./255, 'nlms', [107 76 154]./255, 'mean', 'k');

    % General Setup
    N = 510;
    A.lambda = 0.9;
    B.lambda = 0.99;
    C.lambda = 0.999;

    % Order = 2
    -----
    order = 2; M = order + 1;
    SNR_dB = 3;

    % Signal Model
    t = linspace(-pi,pi,N).';
    signal_d = sin(2*pi*t); % Generating the noisy received signal.

    % Change: M, SNR, lambda
    [A.error, A.weights] = filter_hw.hw4p3rls(signal_d, M, SNR_dB,
A.lambda);
    [B.error, B.weights] = filter_hw.hw4p3rls(signal_d, M, SNR_dB,
B.lambda);
    [C.error, C.weights] = filter_hw.hw4p3rls(signal_d, M, SNR_dB,
C.lambda);

    % Plot - 3 dB
    h1 = figure();
    subplot(2,2,1)
    semilogy(1:N, A.error.^2, '-', 'color', c_.nlms, "linewidth",
1, "markersize", 8);
    hold on
    semilogy(1:N, repelem(mean(A.error.^2), N), '--', 'color',
c_.mean, "linewidth", 1);
    hold off
    xlabel('Samples, N');
    xlim([0 N-10]);
    ylim([1e-8 1e0]);
    ylabel('MSE');
    legend(strcat(sprintf('RLS (M = %2.0f, SNR = %2.0f$ dB,', order,
SNR_dB), ' $\lambda$ = ', num2str(A.lambda), ')'), strcat('Mean = ',
num2str(mean(A.error.^2))), 'interpreter', 'latex', 'Orientation', 'Vertical', 'L
legend boxoff
    grid on;

    subplot(2,2,2)
    semilogy(1:N, B.error.^2, '-', 'color', c_.nlms, "linewidth",
1, "markersize", 8);

```

```

        hold on
        semilogy(1:N, repelem(mean(B.error.^2), N), '--', 'color',
c_.mean, "linewidth", 1);
        hold off
        xlabel('Samples, N');
        xlim([0 N-10]);
        ylim([1e-8 1e0]);
        ylabel('MSE');
        legend(strcat(sprintf('RLS (M = %2.0f, SNR = %2.0f$ dB,', order,
SNR_dB), ' $\lambda$ = ', num2str(B.lambda), ')'), strcat('Mean = ',
num2str(mean(B.error.^2))), 'interpreter', 'latex', 'Orientation', 'Vertical', 'L
        legend boxoff
        grid on;

        subplot(2,2,3)
        plot(1:N, A.weights(1,:), '-', 'color', c_.original, "linewidth",
1);
        hold on;
        plot(1:N, A.weights(2,:), '--', 'color', c_.estimated, "linewidth",
1);
        hold off;
        xlabel('Samples, N');
        ylabel('Magnitude');
        xlim([0 N-10]);

        legend('$w_0$', '$w_1$', 'interpreter', 'latex', 'Orientation', 'Horizontal', 'Lo
        legend boxoff
        grid on;

        subplot(2,2,4)
        plot(1:N, B.weights(1,:), '-', 'color', c_.original, "linewidth",
1);
        hold on;
        plot(1:N, B.weights(2,:), '--', 'color', c_.estimated, "linewidth",
1);
        hold off;
        xlabel('Samples, N');
        ylabel('Magnitude');
        xlim([0 N-10]);

        legend('$w_0$', '$w_1$', 'interpreter', 'latex', 'Orientation', 'Horizontal', 'Lo
        legend boxoff
        grid on;

        % savefig_tight(h1, 'figures/hw4p3-fig1', 'both');

        h2 = figure();
        subplot(2,1,1)
        semilogy(1:N, C.error.^2, '-', 'color', c_.nlms, "linewidth",
1, "markersize", 8);
        hold on
        semilogy(1:N, repelem(mean(C.error.^2), N), '--', 'color',
c_.mean, "linewidth", 1);
        hold off

```

```

xlabel('Samples, N');
xlim([0 N-10]);
ylim([1e-8 1e0]);
ylabel('MSE');
legend(strcat(sprintf('RLS (M = %2.0f, SNR = %2.0f$ dB', order,
SNR_dB), ' $\lambda$ = ', num2str(C.lambda), ')'), strcat('Mean = ',
num2str(mean(B.error.^2))), 'interpreter', 'latex', 'Orientation', 'Vertical', 'L
legend boxoff
grid on;

subplot(2,1,2)
plot(1:N, C.weights(1,:), '-', 'color', c_.original, "linewidth",
1);
hold on;
plot(1:N, C.weights(2,:), '--', 'color', c_.estimated, "linewidth",
1);
hold off;
xlabel('Samples, N');
ylabel('Magnitude');
xlim([0 N-10]);

legend('$w_0$', '$w_1$', 'interpreter', 'latex', 'Orientation', 'Horizontal', 'Lo
legend boxoff
grid on;

% savefig_tight(h2, 'figures/hw4p3-fig2', 'both');

pause;
close all;

SNR_dB = inf;

% Signal Model
t = linspace(-pi,pi,N).';
signal_d = sin(2*pi*t); % Generating the noisy received signal.

% Change: M, SNR, lambda
[A.error, A.weights] = filter_hw.hw4p3rls(signal_d, M, SNR_dB,
A.lambda);
[B.error, B.weights] = filter_hw.hw4p3rls(signal_d, M, SNR_dB,
B.lambda);
[C.error, C.weights] = filter_hw.hw4p3rls(signal_d, M, SNR_dB,
C.lambda);

% Plot - inf dB
h3 = figure();
subplot(2,2,1)
semilogy(1:N, A.error.^2, '-', 'color', c_.nlms, "linewidth",
1, "markersize", 8);
hold on
semilogy(1:N, repelem(mean(A.error.^2), N), '--', 'color',
c_.mean, "linewidth", 1);
hold off
xlabel('Samples, N');

```

```

        xlim([0 N-10]);
        ylim([1e-8 1e0]);
        ylabel('MSE');
        legend(strcat(sprintf('RLS (M = %2.0f, SNR = %2.0f$ dB,', order,
SNR_dB), ' $\lambda$ = ', num2str(A.lambda), ')'), strcat('Mean = ',
num2str(mean(A.error.^2))), 'interpreter', 'latex', 'Orientation', 'Vertical', 'L
        legend boxoff
        grid on;

        subplot(2,2,2)
        semilogy(1:N, B.error.^2, '-', 'color', c_.nlms, "linewidth",
1, "markersize", 8);
        hold on
        semilogy(1:N, repelem(mean(B.error.^2), N), '--', 'color',
c_.mean, "linewidth", 1);
        hold off
        xlabel('Samples, N');
        xlim([0 N-10]);
        ylim([1e-8 1e0]);
        ylabel('MSE');
        legend(strcat(sprintf('RLS (M = %2.0f, SNR = %2.0f$ dB,', order,
SNR_dB), ' $\lambda$ = ', num2str(B.lambda), ')'), strcat('Mean = ',
num2str(mean(B.error.^2))), 'interpreter', 'latex', 'Orientation', 'Vertical', 'L
        legend boxoff
        grid on;

        subplot(2,2,3)
        plot(1:N, A.weights(1,:), '-', 'color', c_.original, "linewidth",
1);
        hold on;
        plot(1:N, A.weights(2,:), '--', 'color', c_.estimated, "linewidth",
1);
        hold off;
        xlabel('Samples, N');
        ylabel('Magnitude');
        xlim([0 N-10]);

        legend('$w_0$', '$w_1$', 'interpreter', 'latex', 'Orientation', 'Horizontal', 'Lo
        legend boxoff
        grid on;

        subplot(2,2,4)
        plot(1:N, B.weights(1,:), '-', 'color', c_.original, "linewidth",
1);
        hold on;
        plot(1:N, B.weights(2,:), '--', 'color', c_.estimated, "linewidth",
1);
        hold off;
        xlabel('Samples, N');
        ylabel('Magnitude');
        xlim([0 N-10]);

        legend('$w_0$', '$w_1$', 'interpreter', 'latex', 'Orientation', 'Horizontal', 'Lo
        legend boxoff

```

```

grid on;

% savefig_tight(h3, 'figures/hw4p3-fig3', 'both');

h4 = figure();
subplot(2,1,1)
semilogy(1:N, C.error.^2, '-', 'color', c_.nlms, "linewidth",
1, "markersize", 8);
hold on
semilogy(1:N, repelem(mean(C.error.^2), N), '--', 'color',
c_.mean, "linewidth", 1);
hold off
xlabel('Samples, N');
xlim([0 N-10]);
ylim([1e-8 1e0]);
ylabel('MSE');
legend(strcat(sprintf('RLS (M = %2.0f, SNR = %2.0f$ dB', order,
SNR_dB), ' $\lambda$ = ', num2str(C.lambda), ')'), strcat('Mean = ',
num2str(mean(B.error.^2))), 'interpreter', 'latex', 'Orientation', 'Vertical', 'L
legend boxoff
grid on;

subplot(2,1,2)
plot(1:N, C.weights(1,:), '-', 'color', c_.original, "linewidth",
1);
hold on;
plot(1:N, C.weights(2,:), '--', 'color', c_.estimated, "linewidth",
1);
hold off;
xlabel('Samples, N');
ylabel('Magnitude');
xlim([0 N-10]);

legend('$w_0$', '$w_1$', 'interpreter', 'latex', 'Orientation', 'Horizontal', 'Lo
legend boxoff
grid on;

% savefig_tight(h4, 'figures/hw4p3-fig4', 'both');

pause;
close all;

% Order = 3
-----
order = 3; M = order + 1;
SNR_dB = 3;

% Signal Model
t = linspace(-pi,pi,N).';
signal_d = sin(2*pi*t); % Generating the noisy received signal.

% Change: M, SNR, lambda
[A.error, A.weights] = filter_hw.hw4p3rls(signal_d, M, SNR_dB,
A.lambda);

```

```

[B.error, B.weights] = filter_hw.hw4p3rls(signal_d, M, SNR_dB,
B.lambda);
[C.error, C.weights] = filter_hw.hw4p3rls(signal_d, M, SNR_dB,
C.lambda);

% Plot - 3 dB
h5 = figure();
subplot(2,2,1)
semilogy(1:N, A.error.^2, '-', 'color', c_.nlms, "linewidth",
1, "markersize", 8);
hold on
semilogy(1:N, repelem(mean(A.error.^2), N), '--', 'color',
c_.mean, "linewidth", 1);
hold off
xlabel('Samples, N');
xlim([0 N-10]);
ylim([1e-8 1e0])
ylabel('MSE');
legend(strcat(sprintf('RLS (M = %2.0f, SNR = %2.0f$ dB,', order,
SNR_dB), ' $\lambda$ = ', num2str(A.lambda), ')'), strcat('Mean = ',
num2str(mean(A.error.^2))), 'interpreter', 'latex', 'Orientation', 'Vertical', 'L
legend boxoff
grid on;

subplot(2,2,2)
semilogy(1:N, B.error.^2, '-', 'color', c_.nlms, "linewidth",
1, "markersize", 8);
hold on
semilogy(1:N, repelem(mean(B.error.^2), N), '--', 'color',
c_.mean, "linewidth", 1);
hold off
xlabel('Samples, N');
xlim([0 N-10]);
ylim([1e-8 1e0])
ylabel('MSE');
legend(strcat(sprintf('RLS (M = %2.0f, SNR = %2.0f$ dB,', order,
SNR_dB), ' $\lambda$ = ', num2str(B.lambda), ')'), strcat('Mean = ',
num2str(mean(B.error.^2))), 'interpreter', 'latex', 'Orientation', 'Vertical', 'L
legend boxoff
grid on;

subplot(2,2,3)
plot(1:N, A.weights(1,:), '-', 'color', c_.original, "linewidth",
1);
hold on;
plot(1:N, A.weights(2,:), '--', 'color', c_.estimated, "linewidth",
1);
hold off;
xlabel('Samples, N');
ylabel('Magnitude');
xlim([0 N-10]);

legend('$w_0$', '$w_1$', 'interpreter', 'latex', 'Orientation', 'Horizontal', 'Lo
legend boxoff

```

```

        grid on;

        subplot(2,2,4)
        plot(1:N, B.weights(1,:), '-', 'color', c_.original, "linewidth",
1);
        hold on;
        plot(1:N, B.weights(2,:), '--', 'color', c_.estimated, "linewidth",
1);
        hold off;
        xlabel('Samples, N');
        ylabel('Magnitude');
        xlim([0 N-10]);

legend('$w_0$', '$w_1$', 'interpreter', 'latex', 'Orientation', 'Horizontal', 'Lo
legend boxoff
grid on;

% savefig_tight(h5, 'figures/hw4p3-fig5', 'both');

h6 = figure();
subplot(2,1,1)
semilogy(1:N, C.error.^2, '-', 'color', c_.nlms, "linewidth",
1, "markersize", 8);
hold on
semilogy(1:N, repelem(mean(C.error.^2), N), '--', 'color',
c_.mean, "linewidth", 1);
hold off
xlabel('Samples, N');
xlim([0 N-10]);
ylim([1e-8 1e0]);
ylabel('MSE');
legend(sprintf('RLS (M = %2.0f, SNR = %2.0f$ dB,', order,
SNR_dB), ' $\lambda$ = ', num2str(C.lambda), ')', strcat('Mean = ',
num2str(mean(B.error.^2))), 'interpreter', 'latex', 'Orientation', 'Vertical', 'L
legend boxoff
grid on;

subplot(2,1,2)
plot(1:N, C.weights(1,:), '-', 'color', c_.original, "linewidth",
1);
hold on;
plot(1:N, C.weights(2,:), '--', 'color', c_.estimated, "linewidth",
1);
hold off;
xlabel('Samples, N');
ylabel('Magnitude');
xlim([0 N-10]);

legend('$w_0$', '$w_1$', 'interpreter', 'latex', 'Orientation', 'Horizontal', 'Lo
legend boxoff
grid on;

% savefig_tight(h6, 'figures/hw4p3-fig6', 'both');

```

```

pause;
close all;

SNR_dB = inf;

% Signal Model
t = linspace(-pi,pi,N).';
signal_d = sin(2*pi*t); % Generating the noisy received signal.

% Change: M, SNR, lambda
[A.error, A.weights] = filter_hw.hw4p3rls(signal_d, M, SNR_dB,
A.lambda);
[B.error, B.weights] = filter_hw.hw4p3rls(signal_d, M, SNR_dB,
B.lambda);
[C.error, C.weights] = filter_hw.hw4p3rls(signal_d, M, SNR_dB,
C.lambda);

% Plot - inf dB
h7 = figure();
subplot(2,2,1)
semilogy(1:N, A.error.^2, '-', 'color', c_.nlms, "linewidth",
1, "markersize", 8);
hold on
semilogy(1:N, repelem(mean(A.error.^2), N), '--', 'color',
c_.mean, "linewidth", 1);
hold off
xlabel('Samples, N');
xlim([0 N-10]);
ylim([1e-8 1e0])
ylabel('MSE');
legend(strcat(sprintf('RLS (M = %2.0f, SNR = %2.0f$ dB,', order,
SNR_dB), ' $\lambda$ = ', num2str(A.lambda), ')'), strcat('Mean = ',
num2str(mean(A.error.^2))), 'interpreter', 'latex', 'Orientation', 'Vertical', 'L
legend boxoff
grid on;

subplot(2,2,2)
semilogy(1:N, B.error.^2, '-', 'color', c_.nlms, "linewidth",
1, "markersize", 8);
hold on
semilogy(1:N, repelem(mean(B.error.^2), N), '--', 'color',
c_.mean, "linewidth", 1);
hold off
xlabel('Samples, N');
xlim([0 N-10]);
ylim([1e-8 1e0])
ylabel('MSE');
legend(strcat(sprintf('RLS (M = %2.0f, SNR = %2.0f$ dB,', order,
SNR_dB), ' $\lambda$ = ', num2str(B.lambda), ')'), strcat('Mean = ',
num2str(mean(B.error.^2))), 'interpreter', 'latex', 'Orientation', 'Vertical', 'L
legend boxoff
grid on;

subplot(2,2,3)

```

```

    plot(1:N, A.weights(1,:), '-', 'color', c_.original, "linewidth",
1);
    hold on;
    plot(1:N, A.weights(2,:), '--', 'color', c_.estimated, "linewidth",
1);
    hold off;
    xlabel('Samples, N');
    ylabel('Magnitude');
    xlim([0 N-10]);

legend('$w_0$', '$w_1$', 'interpreter', 'latex', 'Orientation', 'Horizontal', 'Lo
    legend boxoff
    grid on;

    subplot(2,2,4)
    plot(1:N, B.weights(1,:), '-', 'color', c_.original, "linewidth",
1);
    hold on;
    plot(1:N, B.weights(2,:), '--', 'color', c_.estimated, "linewidth",
1);
    hold off;
    xlabel('Samples, N');
    ylabel('Magnitude');
    xlim([0 N-10]);

legend('$w_0$', '$w_1$', 'interpreter', 'latex', 'Orientation', 'Horizontal', 'Lo
    legend boxoff
    grid on;

    savefig_tight(h7, 'figures/hw4p3-fig7', 'both');

    h8 = figure();
    subplot(2,1,1)
    semilogy(1:N, C.error.^2, '-', 'color', c_.nlms, "linewidth",
1, "markersize", 8);
    hold on
    semilogy(1:N, repelem(mean(C.error.^2), N), '--', 'color',
c_.mean, "linewidth", 1);
    hold off
    xlabel('Samples, N');
    xlim([0 N-10]);
    ylim([1e-8 1e0]);
    ylabel('MSE');
    legend(sprintf('RLS (M = %2.0f, SNR = %2.0f$ dB,', order,
SNR_dB), ' $\lambda$ = ', num2str(C.lambda), ')'), strcat('Mean = ',
num2str(mean(B.error.^2))), 'interpreter', 'latex', 'Orientation', 'Vertical', 'L
    legend boxoff
    grid on;

    subplot(2,1,2)
    plot(1:N, C.weights(1,:), '-', 'color', c_.original, "linewidth",
1);
    hold on;

```

```

    plot(1:N, C.weights(2,:), '--', 'color', c_.estimated, "linewidth",
1);
    hold off;
    xlabel('Samples, N');
    ylabel('Magnitude');
    xlim([0 N-10]);

    legend('$w_0$', '$w_1$', 'interpreter', 'latex', 'Orientation', 'Horizontal', 'Lo
    legend boxoff
    grid on;

    savefig_tight(h8, 'figures/hw4p3-fig8', 'both');

end

```

VERBOSE DETAILS

```

function export_fig(Activate, h, filename)
    if Activate
        savefig_tight(h, filename, 'both');
        filter_hw.verbose_save(filename);
    else
        pause(2)
        close(h);
    end
end

function verbose_save(filename)
    fprintf('Saving Results for:\n\t %s \n', filename);
end

```

SAVE DATA TO TXT FILE

```

function mat2txt(filename, X, permission, header)
% ND.MAT2TXT Write a matrix X into a txt file
% mat2txt(filename, X, 'w', header) - Overwrite the file
% mat2txt(filename, X, 'a', header) - Append to the file end
%
% See also.
    [I, J] = size(X);
    fileID = fopen(filename, permission);
    fprintf(fileID, [repelem('-', strlength(header)+3), '\n',
header, ...
        '\n', repelem('-', strlength(header)+3), '\n']);
    fprintf(fileID, 'X(%d, %d)\n', I, J);
    for ii = 1:I
        for jj = 1:J
            fprintf(fileID, ' %2.4f', X(ii,jj));
        end
        fprintf(fileID, ';\n');
    end
end

```

```
        end
        fprintf(fileID, '\n');
        fclose(fileID);
    end
```

```
% end methods list
```

```
end
end
```

```
ans =
```

```
    filter_hw with no properties.
```

```
Published with MATLAB® R2021a
```

Função Main

[TIP7188 - Filtragem Adaptativa] Author: Lucas Abdalah

main.m

```
clearvars;  
close all;  
clc; pause(0.1)  
  
% publish('main.m', 'pdf');  
% publish('filter_hw.m', 'pdf');  
  
% filter_hw.hw2p5();  
% filter_hw.hw3p4();  
% filter_hw.hw3p5();  
% filter_hw.hw3p6();  
% filter_hw.hw4p1();  
% filter_hw.hw4p3();
```

Published with MATLAB® R2021a